

An introduction to
enumerative and bijective combinatorics
with binary trees
(part II)

TESSELLATE
STEMS-2021
CMI, Chennai, India
9 January 2021

Xavier Viennot
CNRS, Bordeaux, France

www.viennot.org

analytic proof

$$C_0, C_1, C_2, C_3, C_4, C_5, C_6, \dots$$

$$1, 1, 2, 5, 14, 42, 132, \dots$$

$$C_6 = C_0 C_5 + C_1 C_4 + C_2 C_3 + C_3 C_2 + C_4 C_1 + C_5 C_0$$

$$132 = (1 \times 42) + (1 \times 14) + (2 \times 5) + (5 \times 2) + (14 \times 1) + (42 \times 1)$$

$$(C_0 + C_1 t + C_2 t^2 + C_3 t^3 + C_4 t^4 + C_5 t^5)^2$$

$$(C_0 + C_1 t + C_2 t^2 + C_3 t^3 + C_4 t^4 + C_5 t^5)^2$$

t

C_1	
C_2	t
C_3	t^2
C_4	t^3
C_5	t^4
C_6	t^5

$$\begin{aligned}
 &= C_0 C_0 \\
 &+ (C_0 C_1 + C_1 C_0) t \\
 &+ (C_0 C_2 + C_1 C_1 + C_2 C_0) t^2 \\
 &+ (C_0 C_3 + C_1 C_2 + C_2 C_1 + C_3 C_0) t^3 \\
 &+ (C_0 C_4 + C_1 C_3 + C_2 C_2 + C_3 C_1 + C_4 C_0) t^4 \\
 &+ (C_0 C_5 + C_1 C_4 + C_2 C_3 + C_3 C_2 + C_4 C_1 + C_5 C_0) t^5 \\
 &+ \dots \\
 &+ t^{10}
 \end{aligned}$$

$$y = 1 + t y^2$$

$$y = c_0 + c_1 t + c_2 t^2 + c_3 t^3 + \dots + c_n t^n + \dots$$

$$c_{n+1} = \sum_{i+j=n} c_i c_j$$



$$y = 1 + t y^2$$

$$c_0 = 1$$

formal power series

1 1 2 5 14 42

Catalan numbers

$$1 + 1t + 2t^2 + 5t^3 + 14t^4 + 42t^5$$

polynomial

$$1 + 1t + 2t^2 + 5t^3 + 14t^4 + 42t^5$$

+ ...

formal power series

$$y = 1 + 2t + 5t^2 + 14t^3 + 42t^4 + \dots + C_n t^n + \dots$$

$$f(t) = \sum_{n \geq 0} a_n t^n$$

generating function

Formal power series

$$\frac{1}{1-t} = 1 + t + t^2 + t^3 + \dots + t^n + \dots$$

$$\frac{1}{1-t} = 1 + t + t^2 + t^3 + \dots + t^n + \dots$$

a little exercise

$$\frac{1}{1 - (t + t^2)} =$$

?

$$\frac{1}{1-(t+t^2)} = ?$$

$$\begin{aligned} &= 1 + t + 2t^2 + 3t^3 + 5t^4 \\ &\quad + 8t^5 + 13t^6 + 21t^7 \\ &\quad + 34t^8 + 55t^9 + \dots \end{aligned}$$

$$\sum_{i \geq 0} (t + t^2)^i =$$

$$1 + (t + t^2)$$

$$+ (t^2 + 2t^3 + t^4)$$

$$+ (t^3 + 3t^4 + 3t^5 + t^6)$$

$$+ (t^4 + 4t^5 + 6t^6 + \dots)$$

$$+ (t^5 + \dots)$$

$$\sum_{i \geq 0} (t + t^2)^i =$$

$$1 + (t + t^2)$$

$$(t^2 + 2t^3 + t^4)$$

$$(t^3 + 3t^4 + 3t^5 + t^6)$$

$$(t^4 + 4t^5 + 6t^6 + \dots)$$

$$+ (t^5 \dots)$$

↓
1

↓
2

↓
3

↓
5

↓
8

$$F_{n+1} = F_n + F_{n-1}$$

$$F_0 = F_1 = 1$$

Fibonacci

$$t + t + t + \dots t + \dots$$

$$1 + 1 + 1 + \dots$$

~~$$t + t + t + \dots + t + \dots$$~~

~~$$1 + 1 + 1 + \dots$$~~

analytic proof

with

formal power series

$$y = 1 + ty^2$$



$$c_{n+1} = \sum_{i+j=n} c_i c_j$$

$$c_0 = 1$$

classical
enumerative
combinatorics

$$ay^2 + by + c = 0$$

$$y = \frac{-b \pm \sqrt{b^2 - 4ac}}{2a}$$

$$y = 1 + ty^2$$

$$y = \frac{1 - (1 - 4t)^{1/2}}{2t}$$

$$(1+u)^m =$$

$$1 + \binom{m}{1}u + \binom{m}{2}u^2 + \dots + \binom{m}{m}u^m$$

$$(1+u)^m$$

$$= 1 + \frac{m}{1!}u + \frac{m(m-1)}{2!}u^2 + \frac{m(m-1)(m-2)}{3!}u^3 + \dots$$

$$+ \frac{m(m-1)(m-2)\dots(m-n+1)}{n!}u^n + \dots$$

$$m = \frac{1}{2}$$

$$u = -4t$$

$$y = \frac{1 - (1 - 4t)^{1/2}}{2t}$$

$$m = \frac{1}{2}$$

$$u = -4t$$

$$\frac{m(m-1)(m-2)\dots(m-n+1)}{n!} u^n + \dots$$

$$y = \sum_{n \geq 0} \underbrace{\frac{(-1)}{(n+1)!} \cdot \frac{1}{2} \left(\frac{1}{2} - 1\right) \dots \left(\frac{1}{2} - n\right)}_{t^n} \frac{(-4)^{n+1}}{2}$$

$$\frac{1}{(n+1)!} 2n(2n-1)\dots(2n-n+1)$$

$$C_n = \frac{1}{(n+1)} \binom{2n}{n}$$

modern combinatorics

operations on combinatorial objects

binary tree

root

$B = \langle L, r, R \rangle$
or left subtree, root, right subtree

internal vertex

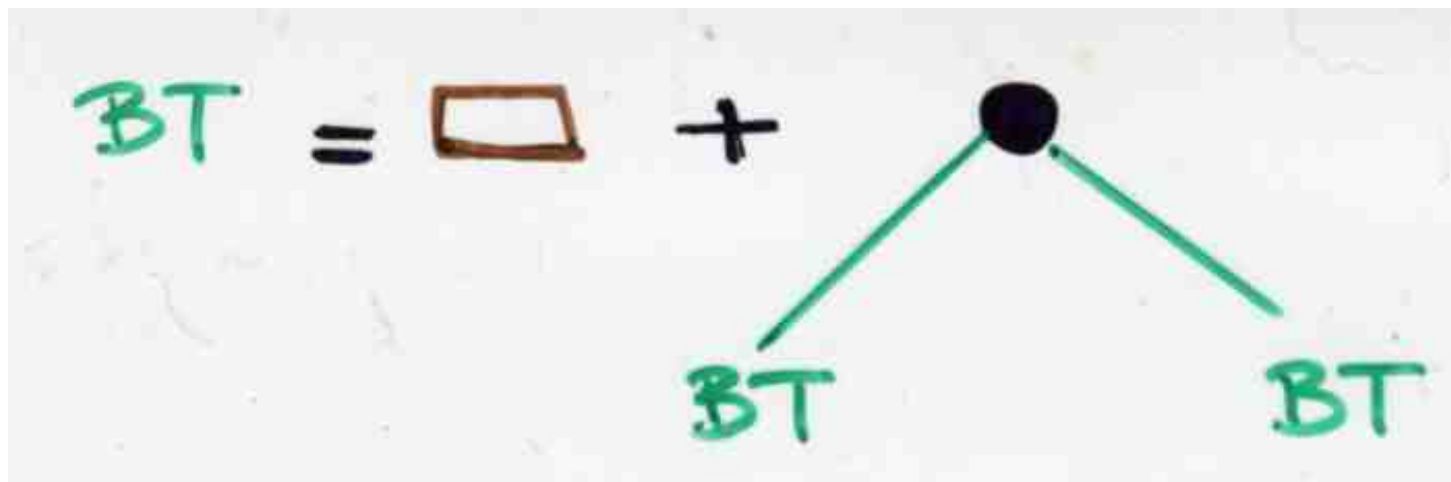
$B = \langle v \rangle$

leaf
or
external
vertex

external vertex
or leaf

C_n = number of
binary trees
having n internal
vertices
(or $n+1$ leaves
= external vertices)

modern
enumerative
combinatorics



$$BT = \square + (BT \times \bullet \times BT)$$

$$y = 1 + t y^2$$

u

generating function
for objects A

$$\frac{1}{1-u}$$

generating function
for sequences
of objects A

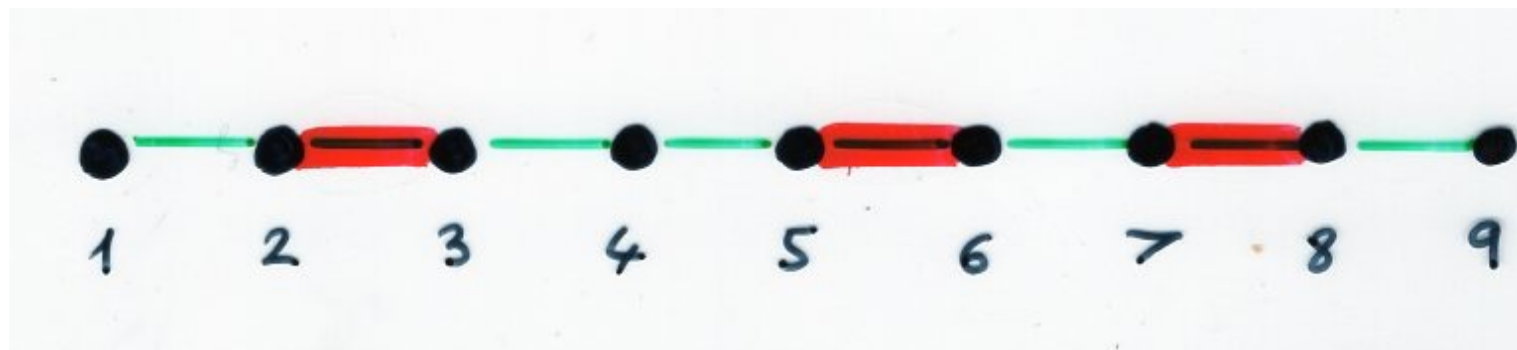
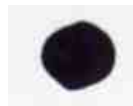
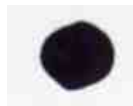


t

t^2

$$\frac{1}{1 - (t + t^2)} =$$

Fibonacci numbers



the bijective paradigm



Joseph-Louis Lagrange
1736 - 1813

AVERTISSEMENT

DE LA DEUXIÈME ÉDITION.

On a déjà plusieurs Traités de Mécanique, mais le plan de celui-ci est entièrement neuf. Je me suis proposé de réduire la théorie de cette Science, et l'art de résoudre les problèmes qui s'y rapportent, à des formules générales, dont le simple développement donne toutes les équations nécessaires pour la solution de chaque problème.

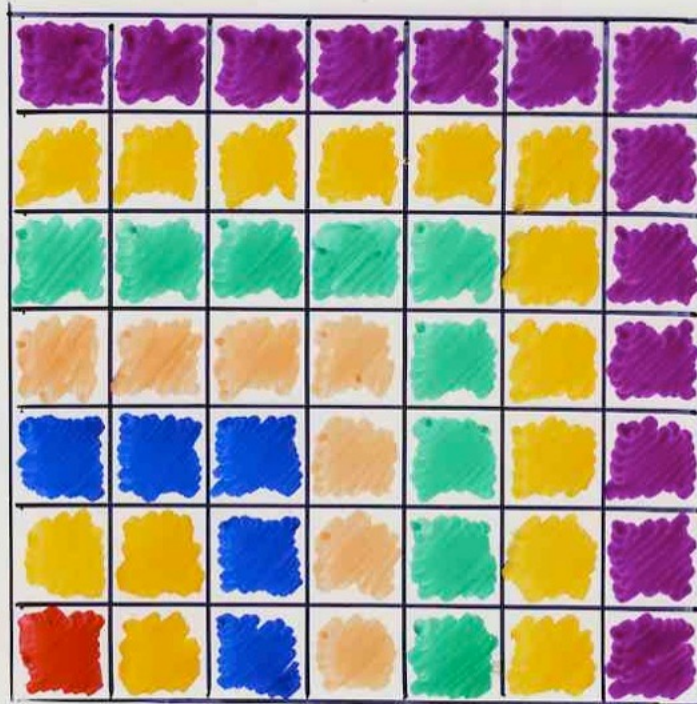
Cet Ouvrage aura d'ailleurs une autre utilité : il réunira et présentera sous un même point de vue les différents principes trouvés jusqu'ici pour faciliter la solution des questions de Mécanique, en montrera la liaison et la dépendance mutuelle, et mettra à portée de juger de leur justesse et de leur étendue.

Je le divise en deux Parties : la Statique ou la Théorie de l'Équilibre, et la Dynamique ou la Théorie du Mouvement ; et, dans chacune de ces Parties, je traite séparément des corps solides et des fluides.

On ne trouvera point de Figures dans cet Ouvrage. Les méthodes que j'y expose ne demandent ni constructions, ni raisonnements géométriques ou mécaniques, mais seulement des opérations algébriques, assujetties à une marche régulière et uniforme. Ceux qui aiment l'Analyse verront avec plaisir la Mécanique en devenir une nouvelle branche, et me sauront gré d'en avoir étendu ainsi le domaine.

replacing calculus by figures and bijections

proof without words



$$n^2 = 1 + 3 + \dots + (2n-1)$$

$$\frac{1}{1 + \frac{q}{1 + \frac{q^2}{1 + \frac{q^3}{\ddots \frac{1}{1 + q^k} \dots}}}}$$

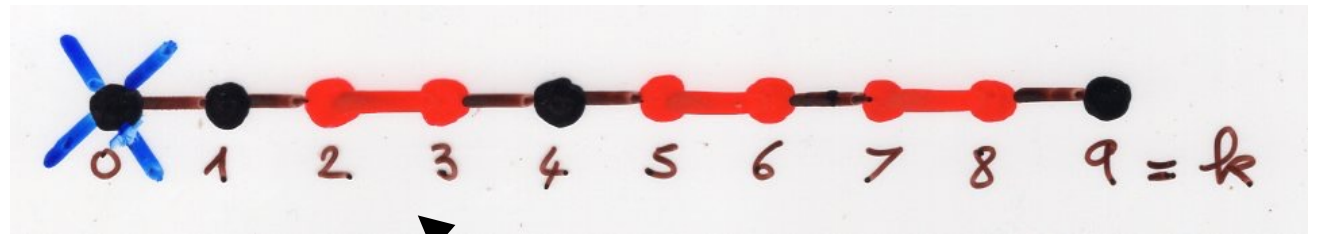
$$\frac{\sum_{n \geq 0} \frac{q^{n^2+n}}{(1-q)(1-q^2) \dots (1-q^n)}}{\sum_{n \geq 0} \frac{q^{n^2}}{(1-q)(1-q^2) \dots (1-q^n)}}$$



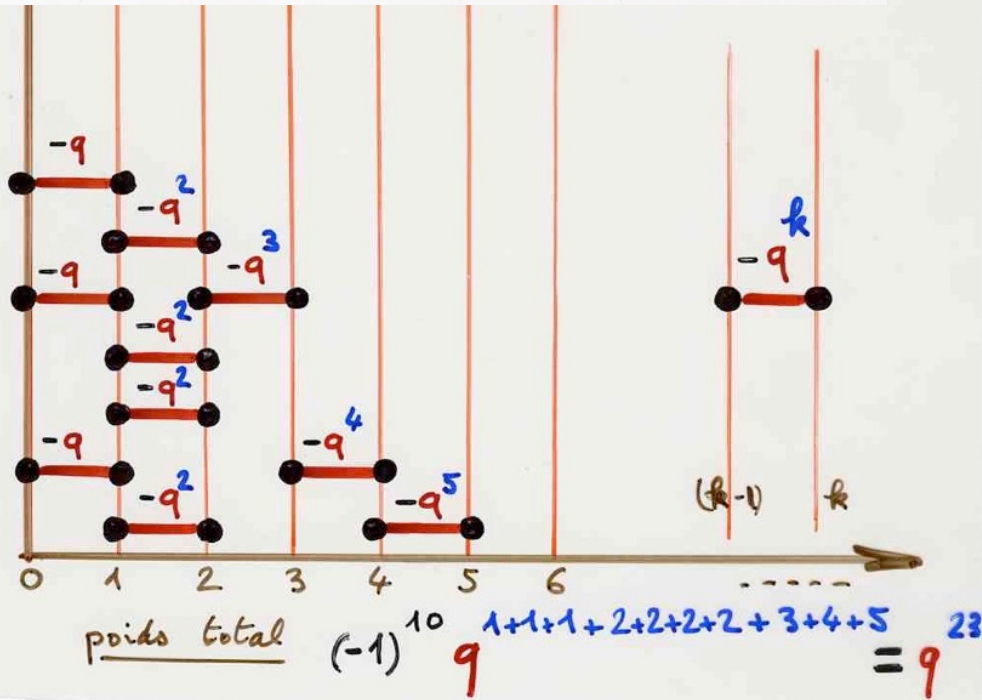
Ramanujan
continued fraction

$$\begin{array}{c}
 1 \\
 \hline
 1 + \cfrac{q}{1 + \cfrac{q^2}{\dots\dots\dots}} \\
 \hline
 1 + \cfrac{q^k}{\dots\dots\dots}
 \end{array}$$

N

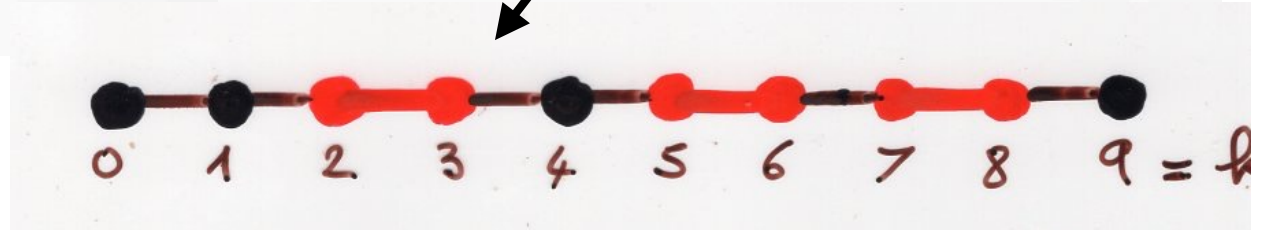


weighted heap $v(E)$



$$= \frac{\sum_{n \geq 0} \frac{q^{n^2+n}}{(1-q)(1-q^2) \dots (1-q^n)}}{\sum_{n \geq 0} \frac{q^{n^2}}{(1-q)(1-q^2) \dots (1-q^n)}}$$

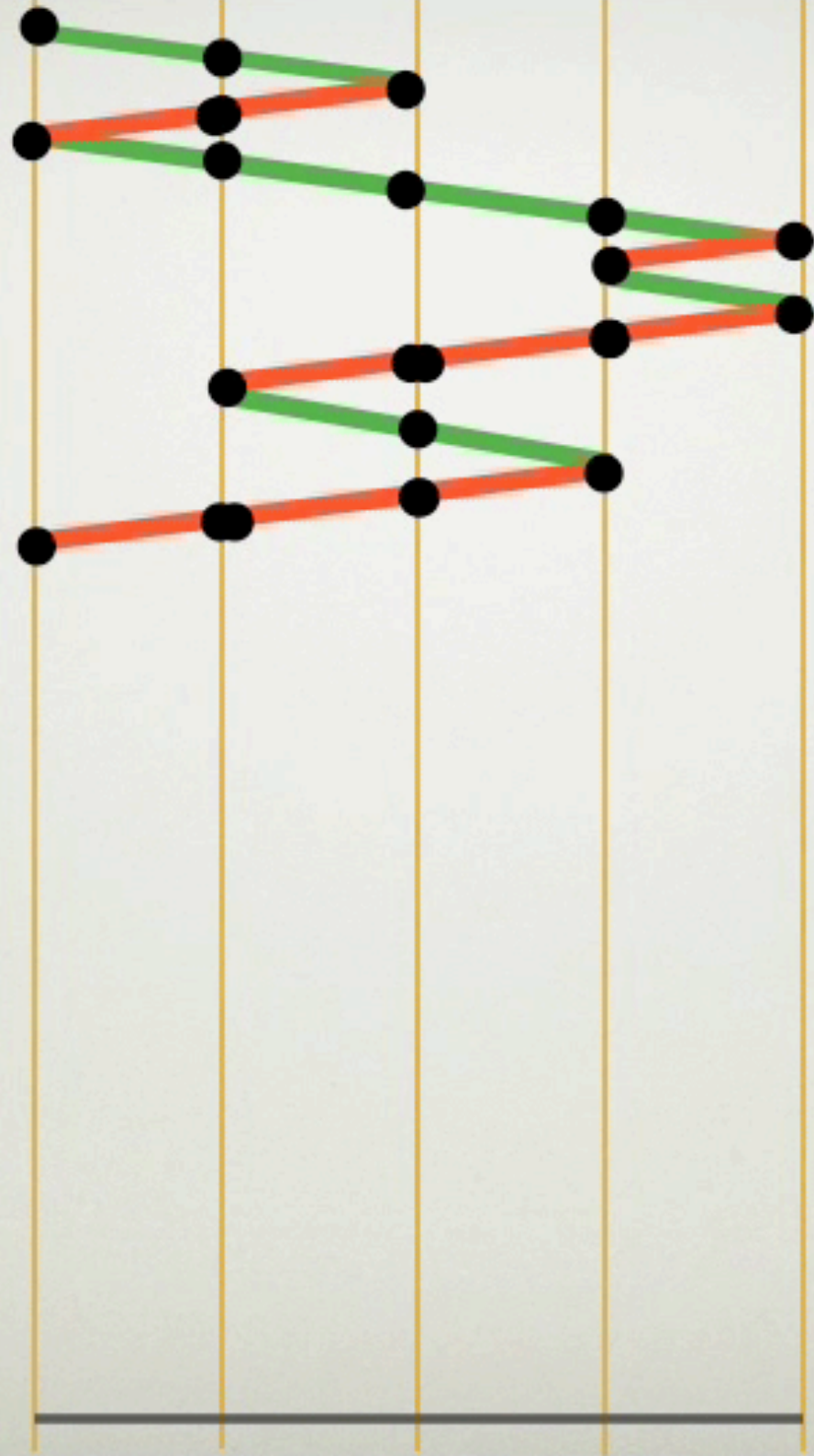
D



bijection

Dyck paths

Heaps of dimers (pyramids)



violins:

Gérard H.E. Duchamp

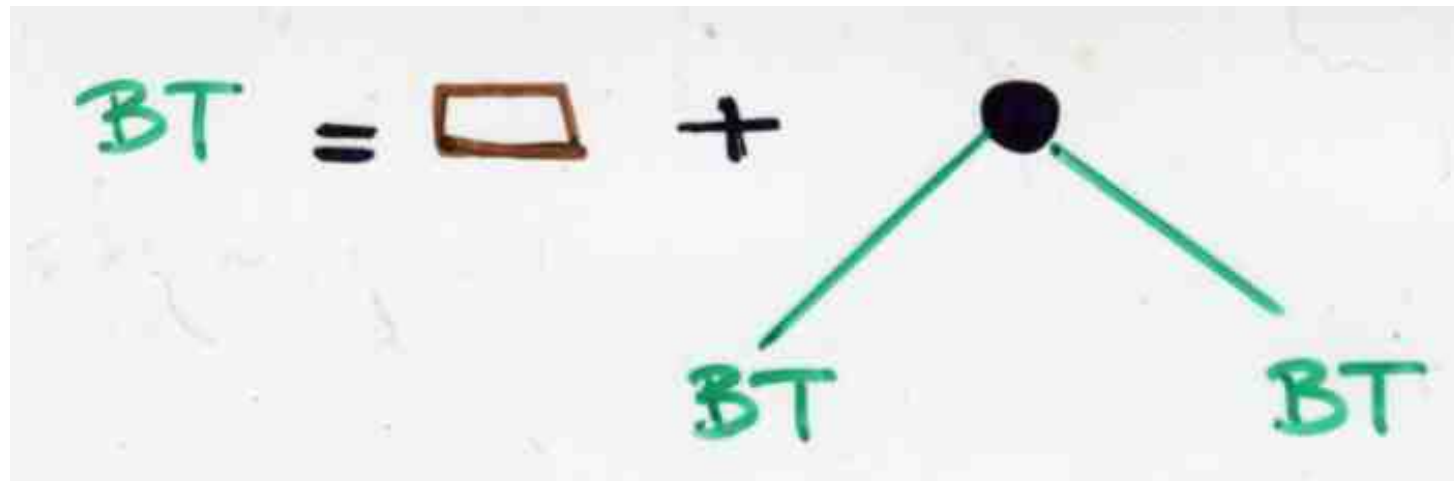
Association
Cont'Science

replacing calculus by figures and bijections

conversely

making calculus from the visual figures

modern
enumerative
combinatorics



$$BT = \square + (BT \times \bullet \times BT)$$

$$y = 1 + ty^2$$

u

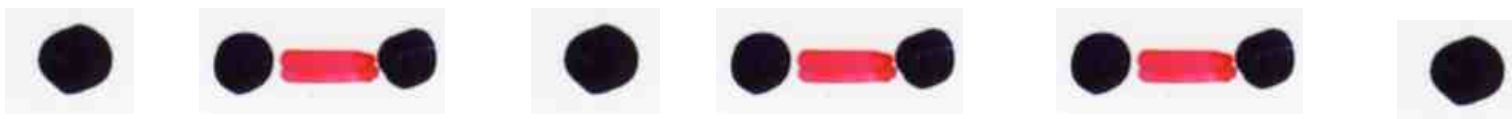
generating function
for objects A

$$\frac{1}{1-u}$$

generating function
for sequences
of objects A

$$\frac{1}{1-(t+t^2)} =$$

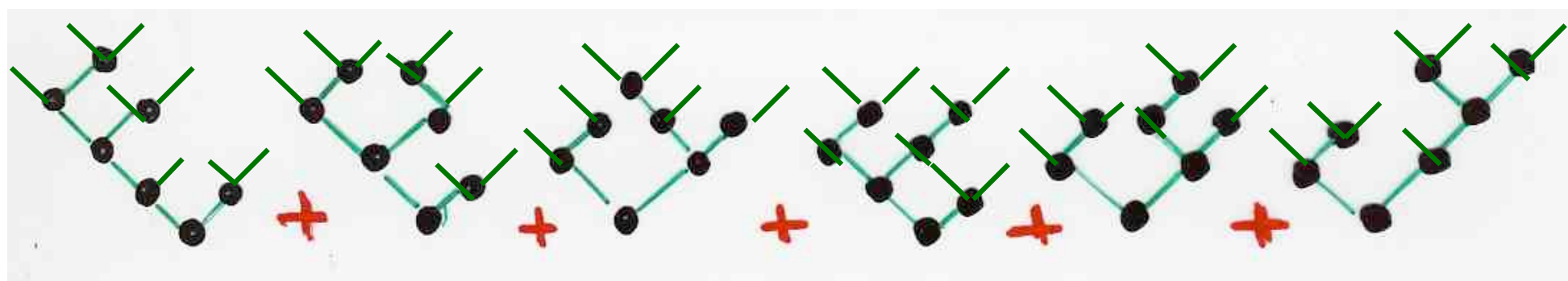
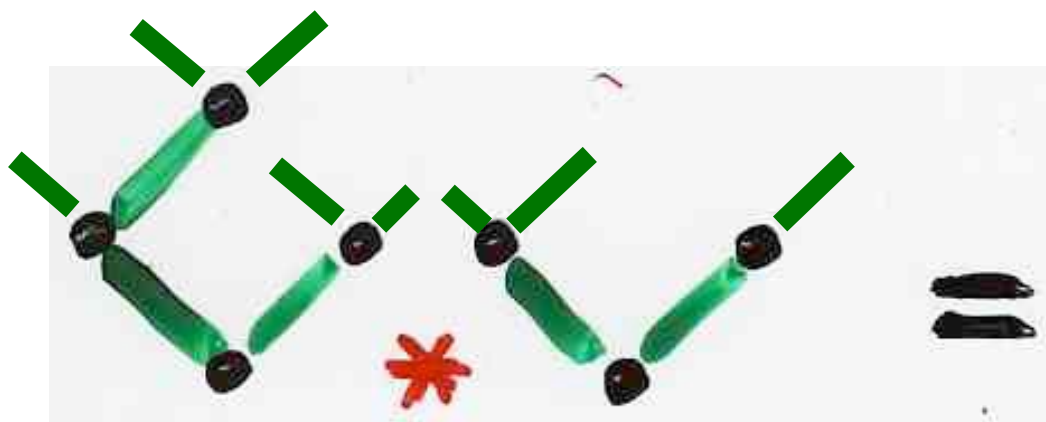
Fibonacci numbers



t

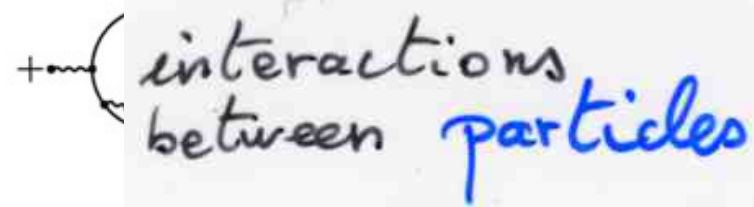
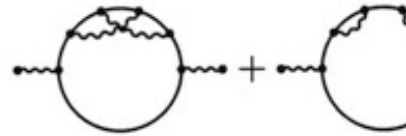
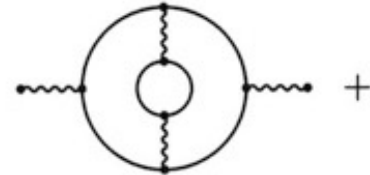
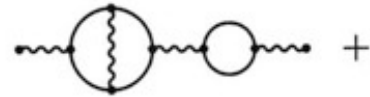
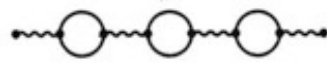
t^2



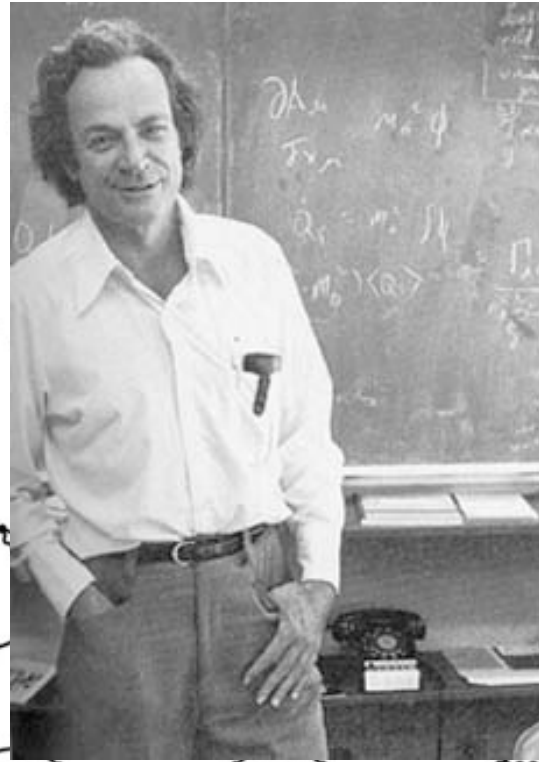


product of binary trees
sum

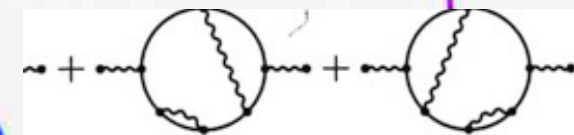
Loday, Ronco (1998)



Feynman
diagrams



electrons, photons, ...



$$\sigma^\gamma(\Upsilon) = \text{---} \bigcirc \text{---} \bigcirc \text{---} \bigcirc \text{---}$$

$$\sigma^\gamma(\Upsilon\Upsilon) = \text{---} \bigcirc \text{---} \bigcirc \text{---} + \text{---} \bigcirc \text{---} \bigcirc \text{---} + \text{---} \bigcirc \text{---} \bigcirc \text{---}$$


$$\sigma^\gamma(\Upsilon\Upsilon) = \text{---} \bigcirc \text{---} \bigcirc \text{---} + \text{---} \bigcirc \text{---} \bigcirc \text{---} + \text{---} \bigcirc \text{---} \bigcirc \text{---}$$

$$\sigma^\gamma(\Upsilon\Upsilon) = \text{---} \bigcirc \text{---} + \text{---} \bigcirc \text{---} + \text{---} \bigcirc \text{---}$$

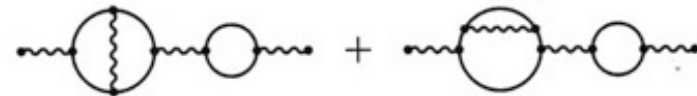
$$\sigma^\gamma(\Upsilon\Upsilon) = \text{---} \bigcirc \text{---} + \text{---} \bigcirc \text{---} + \text{---} \bigcirc \text{---} + \text{---} \bigcirc \text{---} + \text{---} \bigcirc \text{---}$$

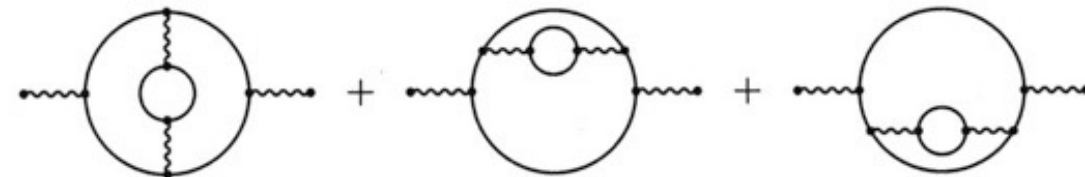
$$+ \text{---} \bigcirc \text{---} + \text{---} \bigcirc \text{---} + \text{---} \bigcirc \text{---} + \text{---} \bigcirc \text{---} + \text{---} \bigcirc \text{---}$$


$$+ \text{---} \bigcirc \text{---} + \text{---} \bigcirc \text{---} + \text{---} \bigcirc \text{---} + \text{---} \bigcirc \text{---} + \text{---} \bigcirc \text{---}$$

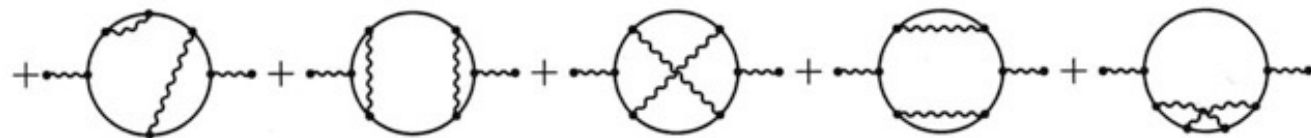
$$\sigma^\gamma(\Upsilon) =$$


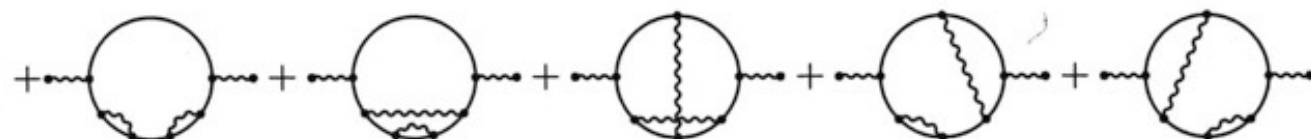
$$\sigma^\gamma(\Upsilon) =$$


$$\sigma^\gamma(\Upsilon) =$$


$$\sigma^\gamma(\Upsilon) =$$


$$\sigma^\gamma(\Upsilon) =$$






mathematics
of
binary trees

Triangulations
of a convex polygon

Note sur une Équation aux différences finies ;

PAR E. CATALAN.

M. Lamé a démontré que l'équation

$P_{n+1} = P_n + P_{n-1}P_2 + P_{n-2}P_4 + \dots + P_4P_{n-4} + P_3P_{n-3} + P_n$, (1)
se ramène à l'équation linéaire très simple,

$$P_{n+1} = \frac{4n-6}{n} P_n. \quad (2)$$

Admettant donc la concordance de ces deux formules, je vais chercher à en déduire quelques conséquences.

I.

L'intégrale de l'équation (2) est

$$P_{n+1} = \frac{6}{3} \cdot \frac{10}{4} \cdot \frac{14}{5} \dots \frac{4n-6}{n} P_1;$$

et comme, dans la question de géométrie qui conduit à ces deux équations, on a $P_1 = 1$, nous prendrons simplement

$$P_{n+1} = \frac{2 \cdot 6 \cdot 10 \cdot 14 \dots (4n-6)}{2 \cdot 3 \cdot 4 \cdot 5 \dots n}. \quad (3)$$

Le numérateur

$$\begin{aligned} 2 \cdot 6 \cdot 10 \cdot 14 \dots (4n-6) &= 2^{n-1} \cdot 1 \cdot 3 \cdot 5 \cdot 7 \dots (2n-3) \\ &= \frac{2^{n-1} \cdot 1 \cdot 2 \cdot 3 \cdot 4 \cdot 5 \dots (2n-2)}{2 \cdot 4 \cdot 6 \cdot 8 \dots (2n-2)} = \frac{1 \cdot 2 \cdot 3 \cdot 4 \dots (2n-2)}{1 \cdot 2 \cdot 3 \dots (n-1)}. \end{aligned}$$

Donc

$$P_{n+1} = \frac{n(n+1)(n+2) \dots (2n-2)}{2 \cdot 3 \cdot 4 \dots n}. \quad (4)$$

Si l'on désigne généralement par $C_{m,p}$ le nombre des combinaisons de m lettres, prises p à p ; et si l'on change n en $n+1$, on aura

$$P_{n+1} = \frac{1}{n+1} C_{2n,n}, \quad (5)$$

ou bien

$$P_{n+1} = C_{2n,n} - C_{2n,n-1}. \quad (6)$$

II.

Les équations (1) et (5) donnent ce théorème sur les combinaisons :

$$\left. \begin{aligned} \frac{1}{n+1} C_{2n,n} &= \frac{1}{n} C_{2n-2,n-1} + \frac{1}{n-1} C_{2n-4,n-3} \times \frac{1}{2} C_{2,1} \\ &+ \frac{1}{n-2} C_{2n-6,n-3} \times \frac{1}{3} C_{4,2} + \dots + \frac{1}{n} C_{2n-2,n-1}. \end{aligned} \right\} \quad (7)$$

III.

On sait que le $(n+1)^{\text{e}}$ nombre figuré de l'ordre $n+1$, a pour expression, $C_{2n,n}$: si donc, dans la table des nombres figurés, on prend ceux qui occupent la diagonale; savoir :

1, 2, 6, 20, 70, 252, 924...

qu'on les divise respectivement par

on obtiendra

lesquels joui

Un terme
produits qu
dans un ord
pliant les te

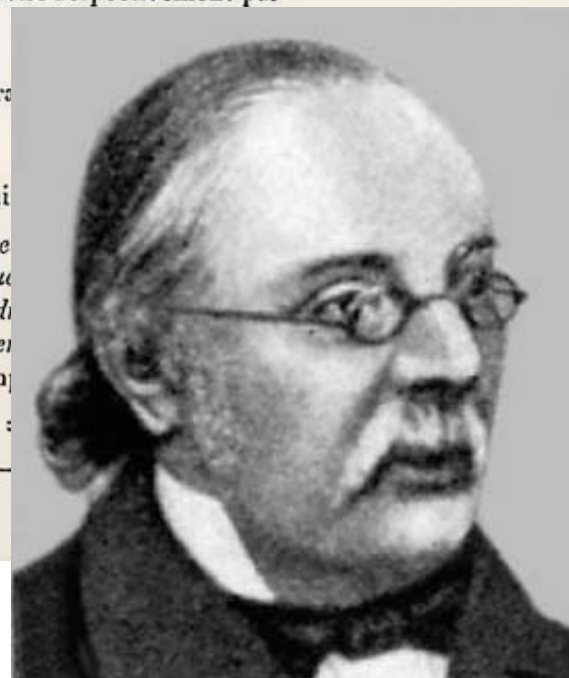
Par exem

132 :

Tome III. -

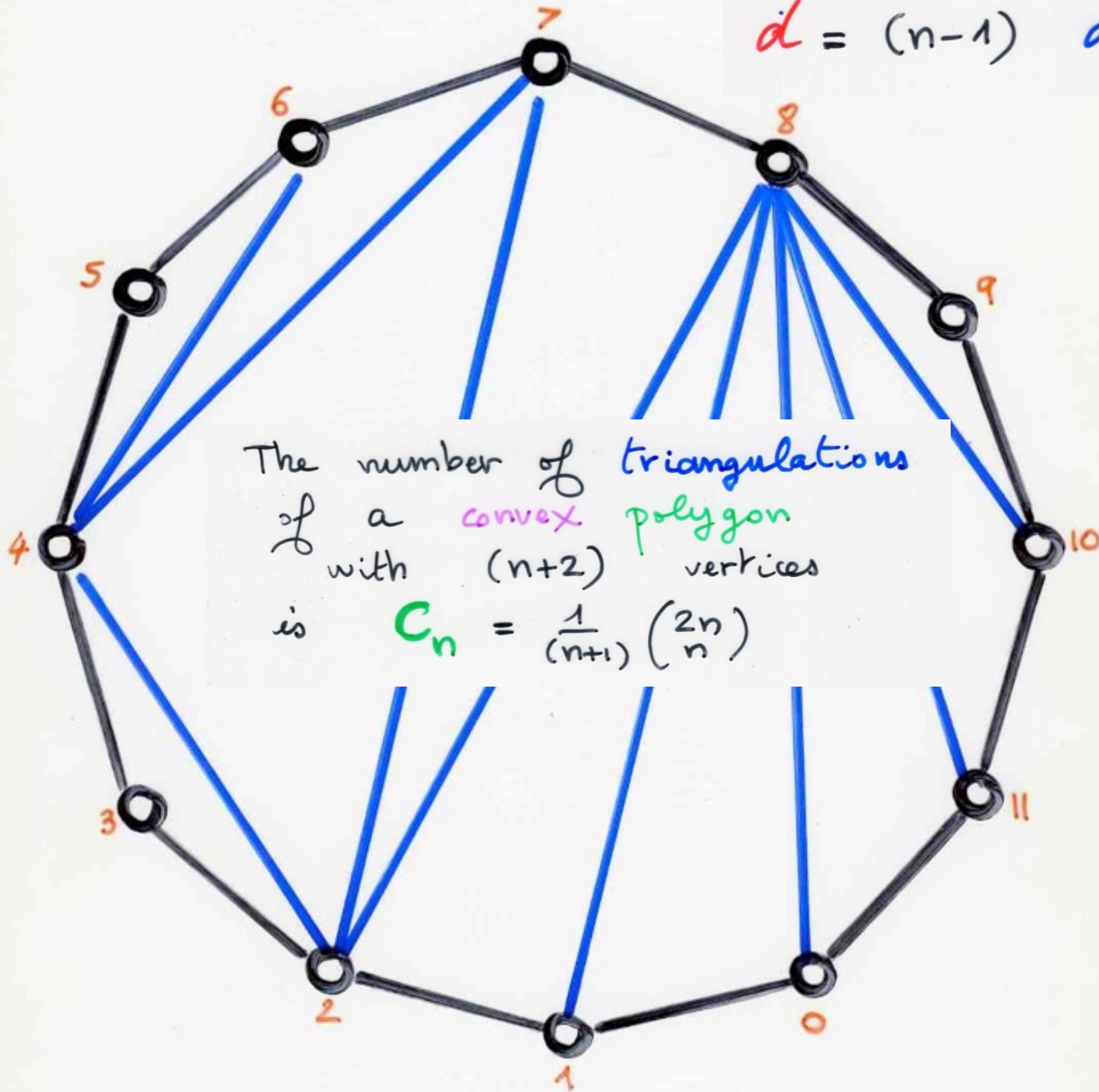
(A)

me des
ème, et
n multi-



Eugène Catalan (1814-1894)

$$d = (n-1) \text{ diagonals}$$



The number of triangulations
of a convex polygon
with $(n+2)$ vertices
is $C_n = \frac{1}{(n+1)} \binom{2n}{n}$

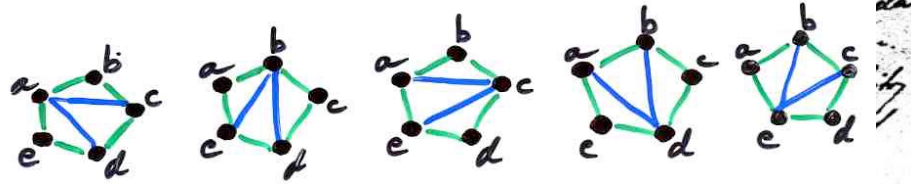
Leonhard
Euler
1707 - 1783



A letter from Leonhard Euler
to Christian Goldbach

Berlin, 4 September 1751

Heidel. und stoffen? bei auf 8 nach Lageplan haben gegeben und sind
 fünf der Diagonale I. a^2d ; II. b^2c ; III. c^2a ; IV. d^2b ; V. e^2c



bei Betrachtung zusammen
 Folge ist, wenn die Folge der Hauptknoten $= x$
 so sieht ist per Induktion gefunden

Wenn $n = 3, 4, 5, 6, 7, 8, 9, 10$

so ist $x = 1, 2, 5, 14, 42, 152, 429, 1430$

Erweitert sich in dem Folge, so gemacht. In 1. Annahme

$$x = \frac{2 \cdot 6 \cdot 10 \cdot 14 \cdot 18 \cdot 22 \cdot \dots \cdot (4n-10)}{2 \cdot 3 \cdot 4 \cdot 5 \cdot 6 \cdot 7 \cdot \dots \cdot (n-1)} = \frac{(2n)!}{(n+1)!n!}$$

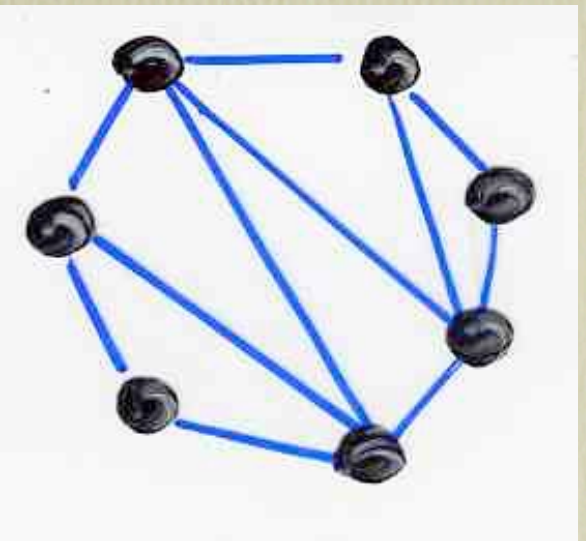
$1 = \frac{2}{2}, 2 = 1 \cdot \frac{6}{3}, 5 = 2 \cdot \frac{12}{4}, 14 = 5 \cdot \frac{12}{3}, 42 =$
 das alle annimmt jedes gibt die folgende leicht gefunden
 und die Induktion ab, so ist gegeben, was gemacht wird
 das Resultat ist nicht, das die Folge mit der Induktion
 nicht übereinstimmt. Also die Propagation der Induktion
 1, 2, 5, 14, 42, 152, etc. sieht ist auf diese Folge nicht
 gemacht, das

$$1 + 2a + 5a^2 + 14a^3 + 42a^4 + 152a^5 + \dots = \frac{1-2a-\sqrt{1-4a}}{2a}$$

also wenn $a = \frac{1}{4}$ so ist $1 + \frac{2}{4} + \frac{5}{4} + \frac{14}{4} + \frac{42}{4} + \dots = 4$

Also die meisten Zahlen sind zu der Folge
 unabhängig von der Induktion gegeben, und
 so ist die Folge mit der Induktion nicht übereinstimmend
 daher ist die Folge zu betrachten

Also Folge ist bekannt



Seite 24. Sept
 1751.

gefragt in
 Euler

Geht, und steht hier auf 8 nicht liegenden Stellen geschrieben. Auf der Diagonalen I. a_1^1 ; II. a_2^1, a_1^2 ; III. a_3^1, a_2^2, a_1^3 ; IV. $a_4^1, a_3^2, a_2^3, a_1^4$; V. $a_5^1, a_4^2, a_3^3, a_2^4, a_1^5$

Wenn hier ein Punkt hier 3 Diagonalen in 4 Triangula geschrieben, und steht hier auf 14 liegenden Stellen geschrieben.

Man ist hier ganz Generaliter. In ein Polygonum mit n Seiten sind $n-3$ Diagonalen in $n-2$ Triangula geschrieben, auf die beliebig liegenden Stellen geschrieben werden.

Es ist nun die Aufgabe diese liegenden Stellen = x zu finden.

so sieht man

Wenn $n = 1, 2, 5, 14, 42, 132, 429, 1430, \dots$

ist $x = 1, 2, 5, 14, 42, 132, 429, 1430, \dots$

Es ist nun die Aufgabe diese liegenden Stellen = x zu finden. Generaliter

$$x = \frac{2 \cdot 6 \cdot 10 \cdot 14 \cdot 18 \cdot 22 \cdot \dots \cdot (4n-10)}{2 \cdot 3 \cdot 4 \cdot 5 \cdot 6 \cdot 7 \cdot \dots \cdot (n-1)} = \frac{(2n)!}{(n+1)!n!}$$

$$6 = 2 \cdot \frac{42}{4}, 14 = 5 \cdot \frac{14}{3}, 42 = 14 \cdot \frac{6}{1}, 132 = 11 \cdot \frac{12}{1}$$

$$C_n = \frac{1}{n+1} \binom{2n}{n} \quad n! = 1 \times 2 \times 3 \times \dots \times n$$

und. wenn
 die Reihe ist unend. Ist die Reihe
 die Proprietät

$$\frac{1 - 2a - \sqrt{1 - 4a^2}}{2a^2}$$

$$1 + 2a + 5a^2 + 14a^3 + 42a^4 + 132a^5 + \text{etc}$$

gemischte Art

$$1 + 2a + 5a^2 + 14a^3 + 42a^4 + 132a^5 + \text{etc} = \frac{1 - 2a - \sqrt{1 - 4a^2}}{2a^2}$$

$$\text{alle. wenn } a = \frac{1}{4} \text{ ist } 1 + \frac{2}{4} + \frac{5}{16} + \frac{14}{64} + \frac{42}{256} + \text{etc} = 4$$

Die hier erwähnte Reihe ist für die Eigenschaften
 vollständig aufbewahrt geblieben, und
 es ist die Folge mit der richtigen Reihenfolge
 der Reihe zu bezeichnen

von Joseph Euler

Paris 24^{te} Sept
 1751.

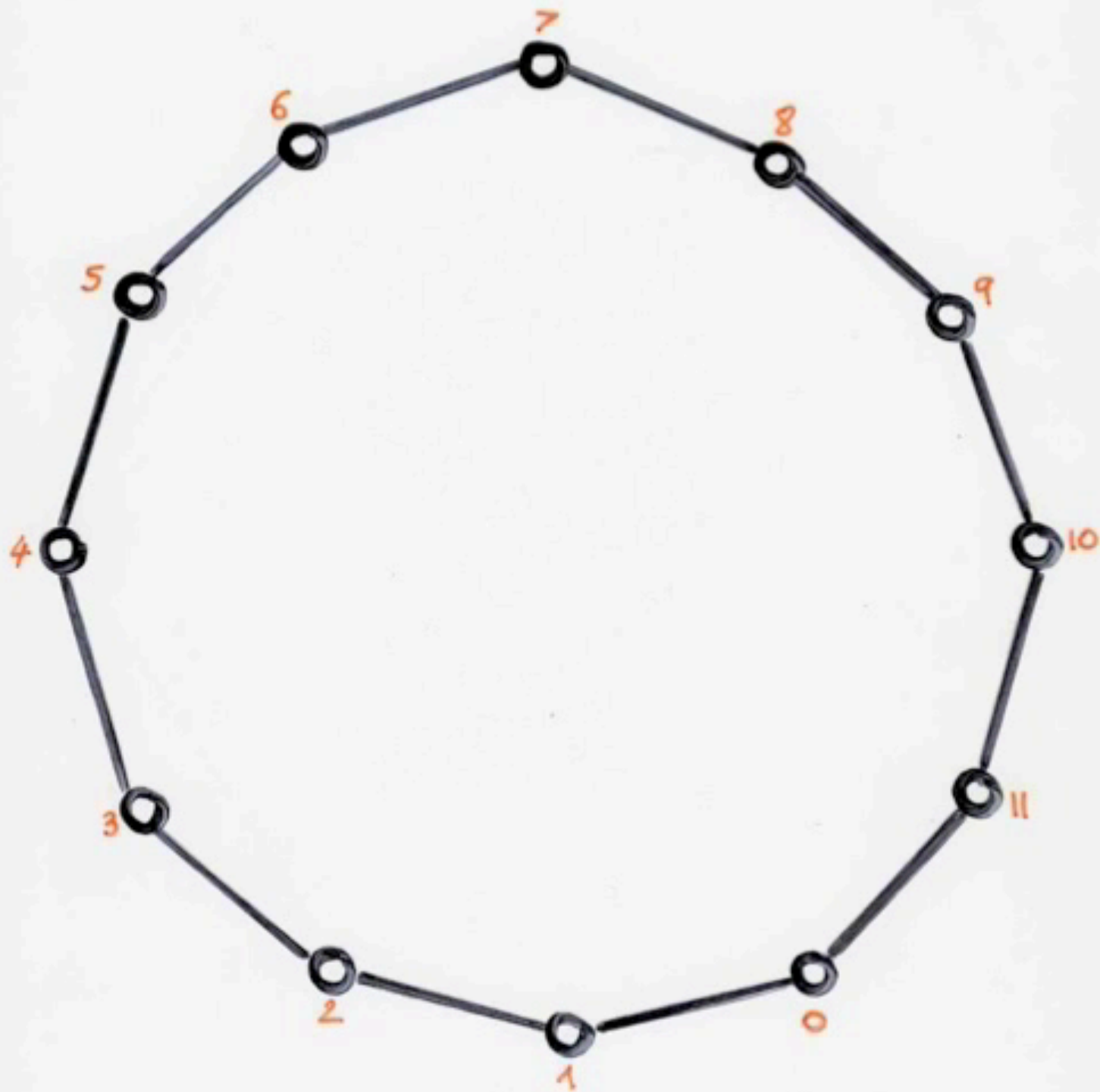
4 Sept 1751
 Berlin

gezeichnete Euler

bijection

triangulations

binary trees

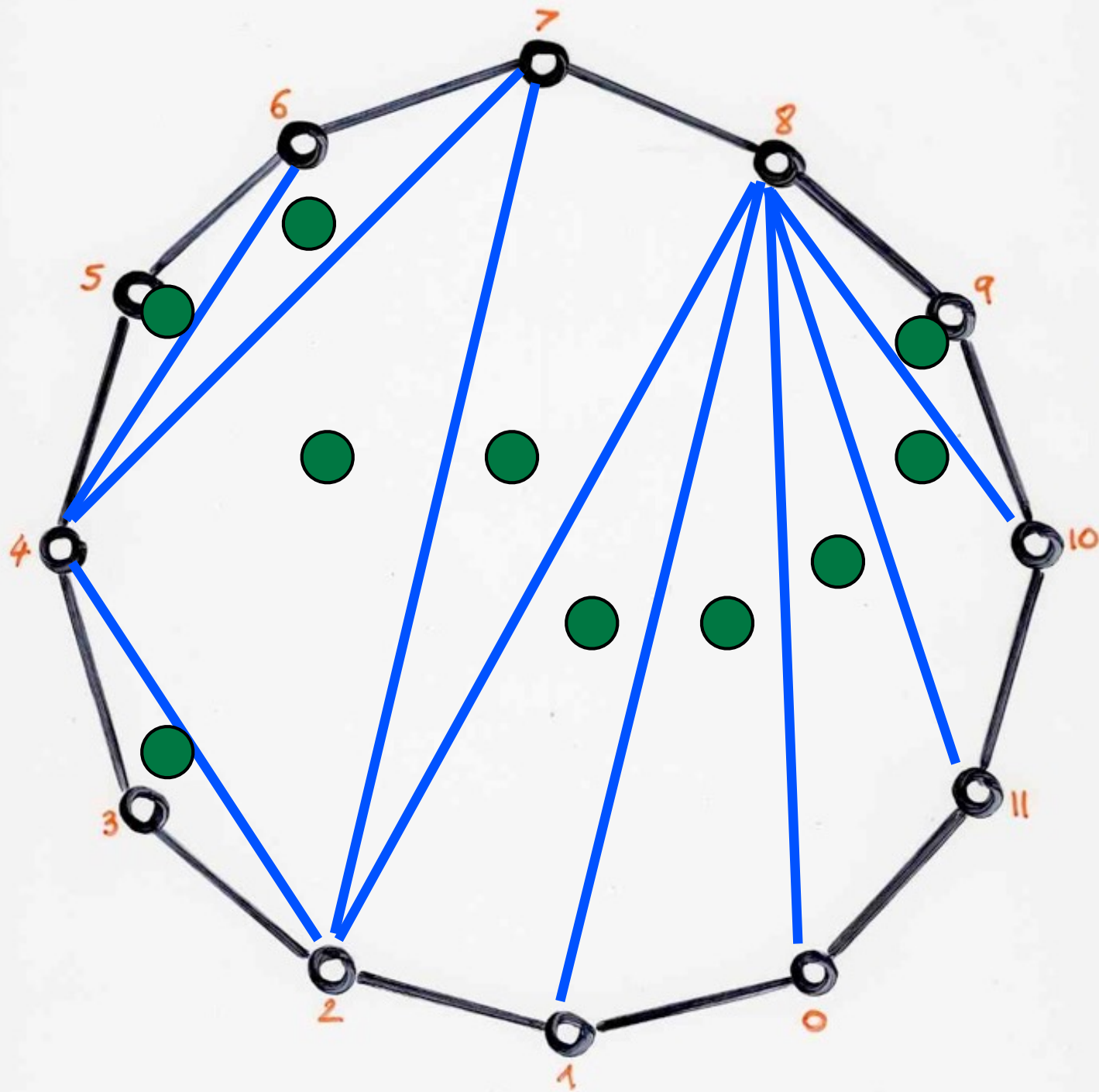


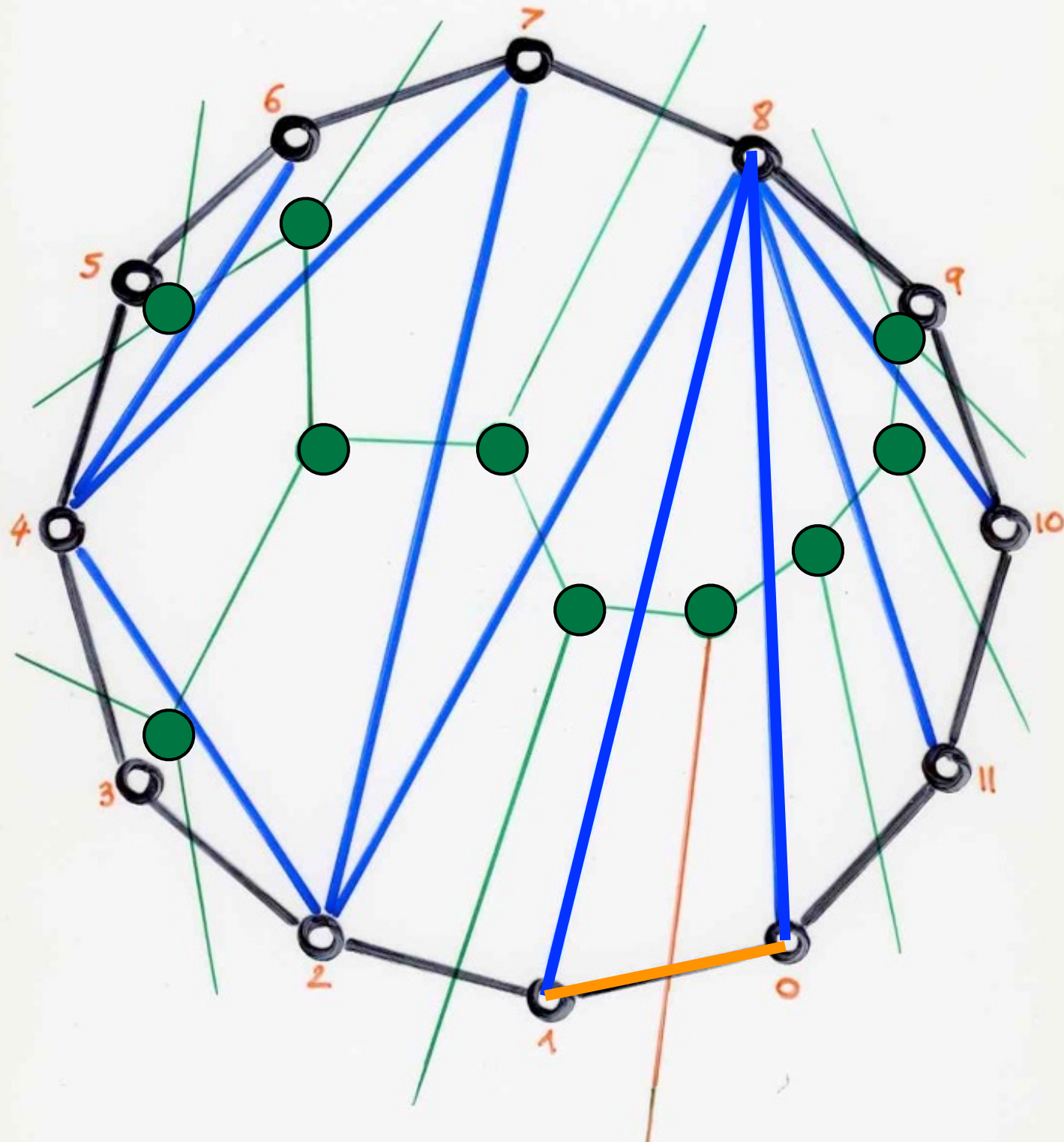
violins:

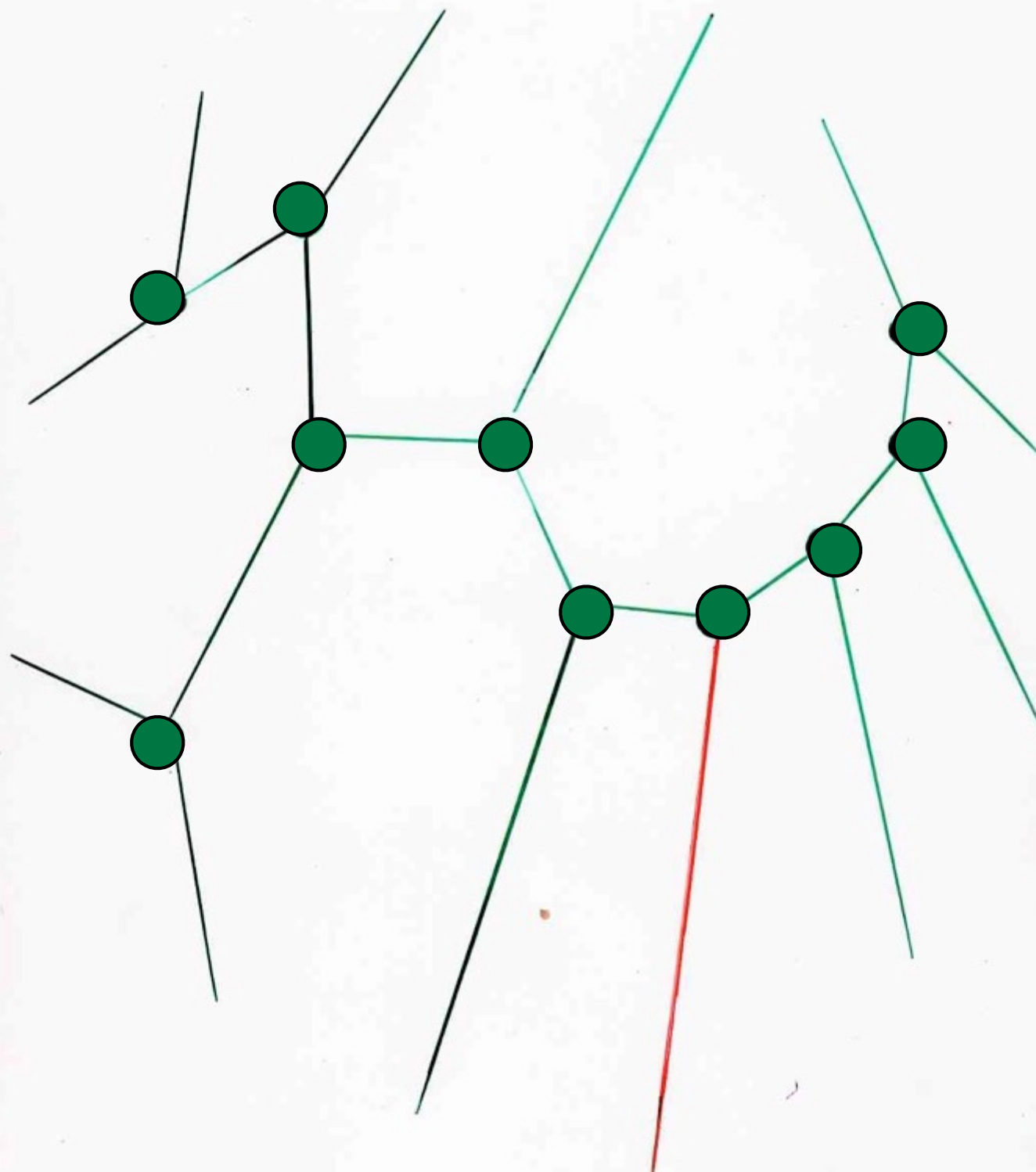
Mariette Freudentheil

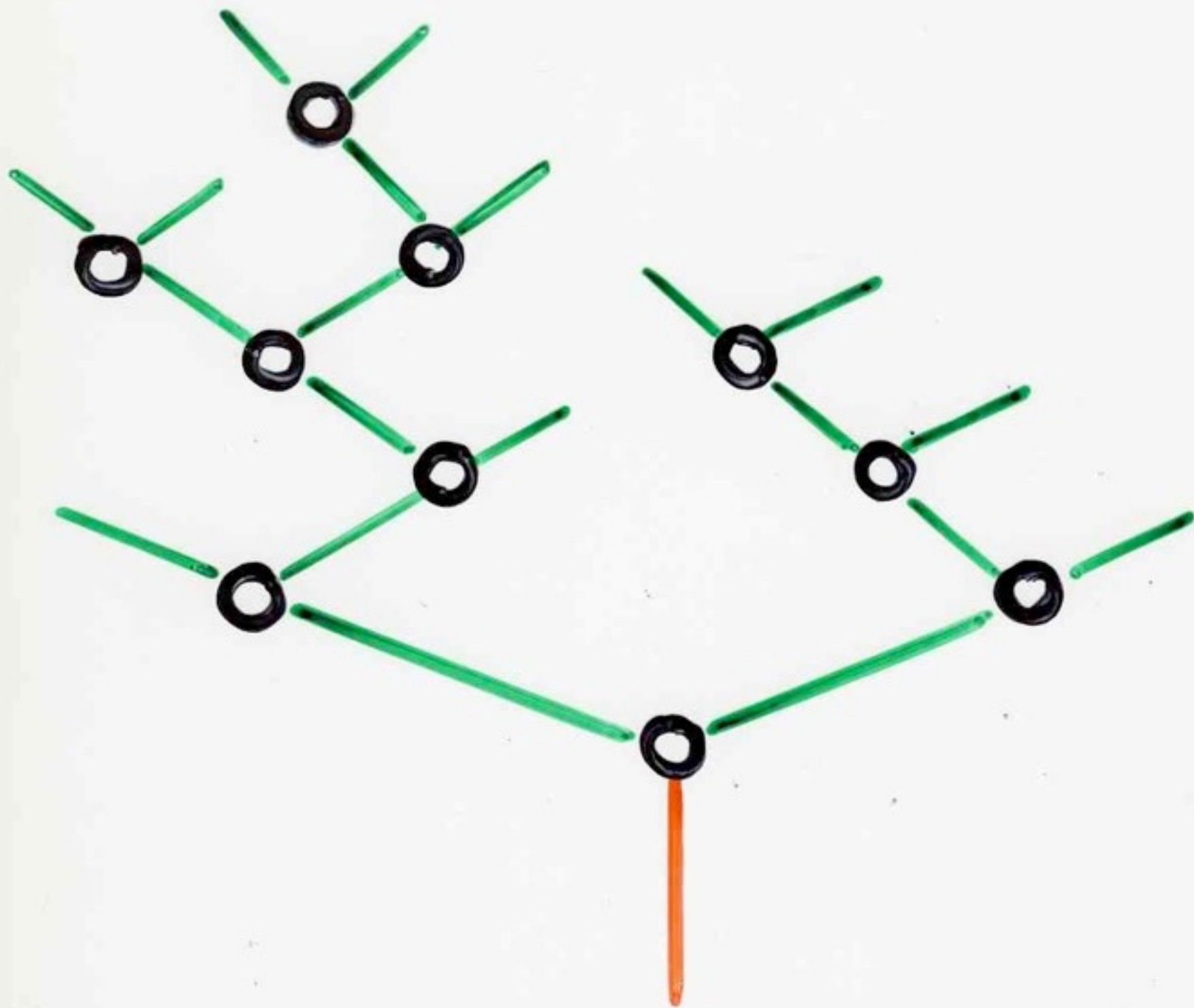
Gérard H.E. Duchamp

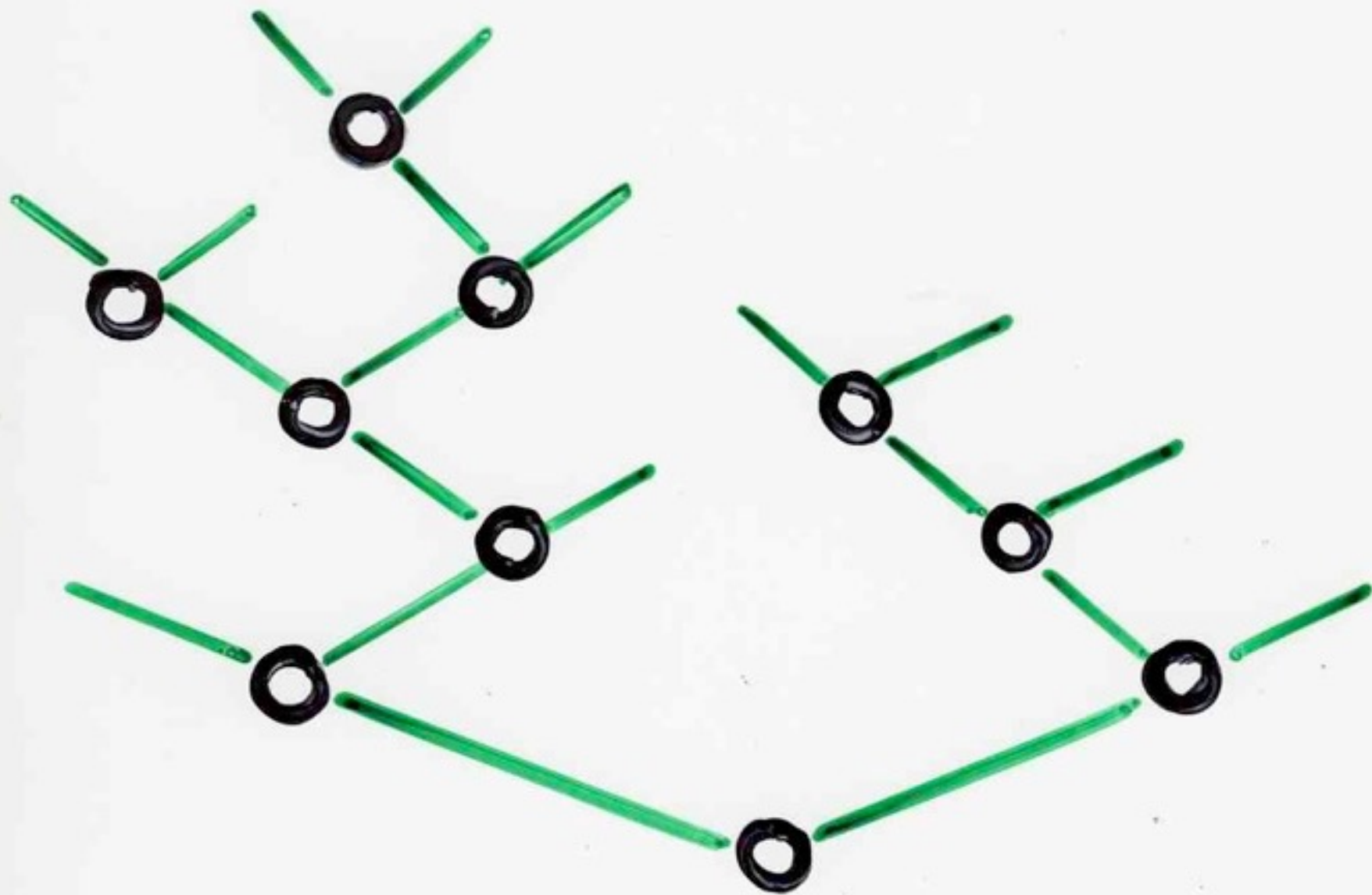
Association
Cont'Science











exercise 11

describe the reverse bijection

binary trees \longrightarrow triangulations

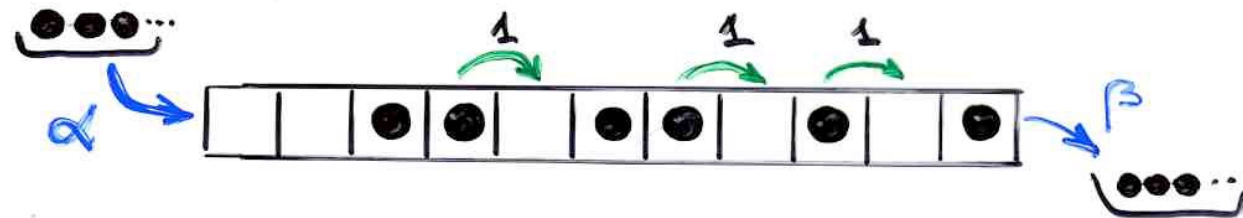
Relation with physics

of dynamical systems

The TASEP

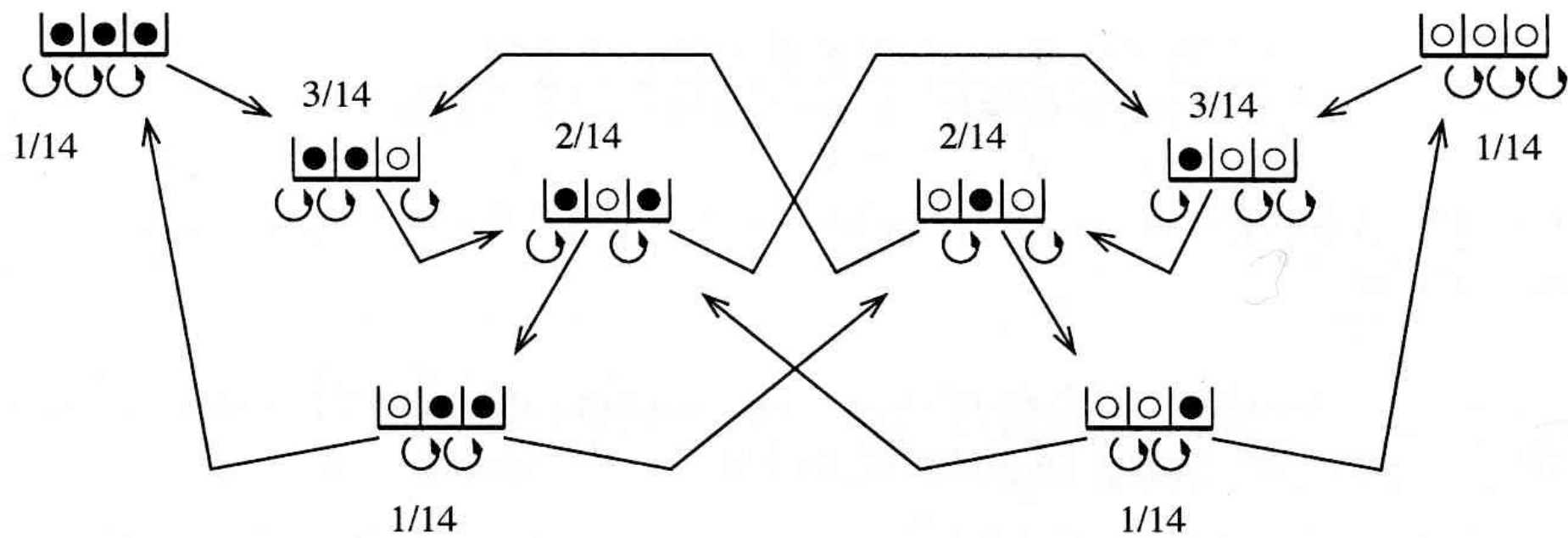
TASEP

"Totally asymmetric exclusion process"

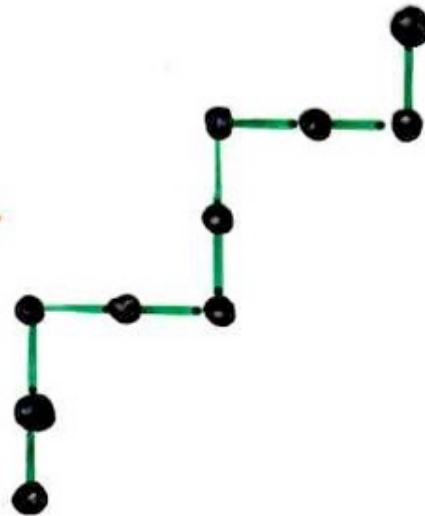
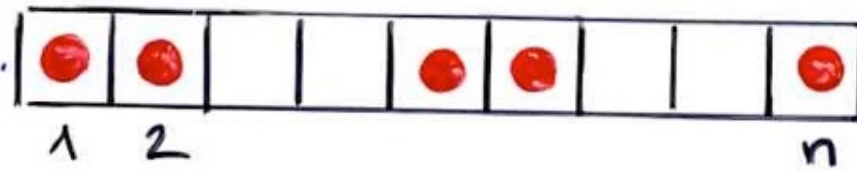


stationary
probabilities

time $\rightarrow \infty$



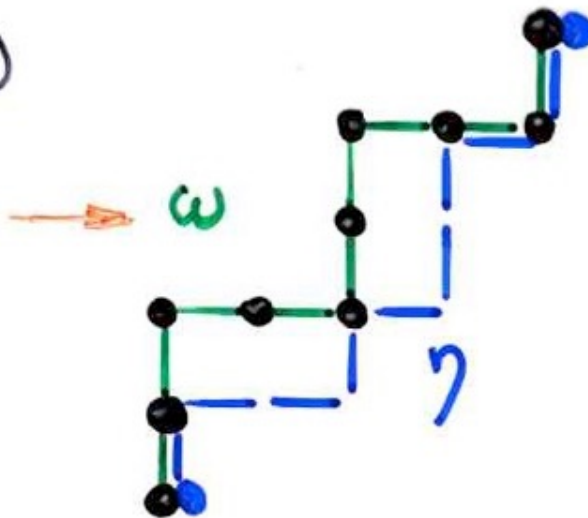
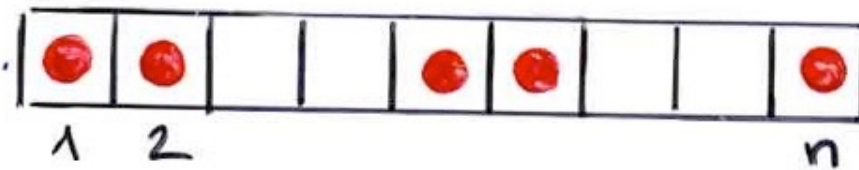
state $s = (\tau_1, \dots, \tau_n)$



$$P_n(\Delta) =$$

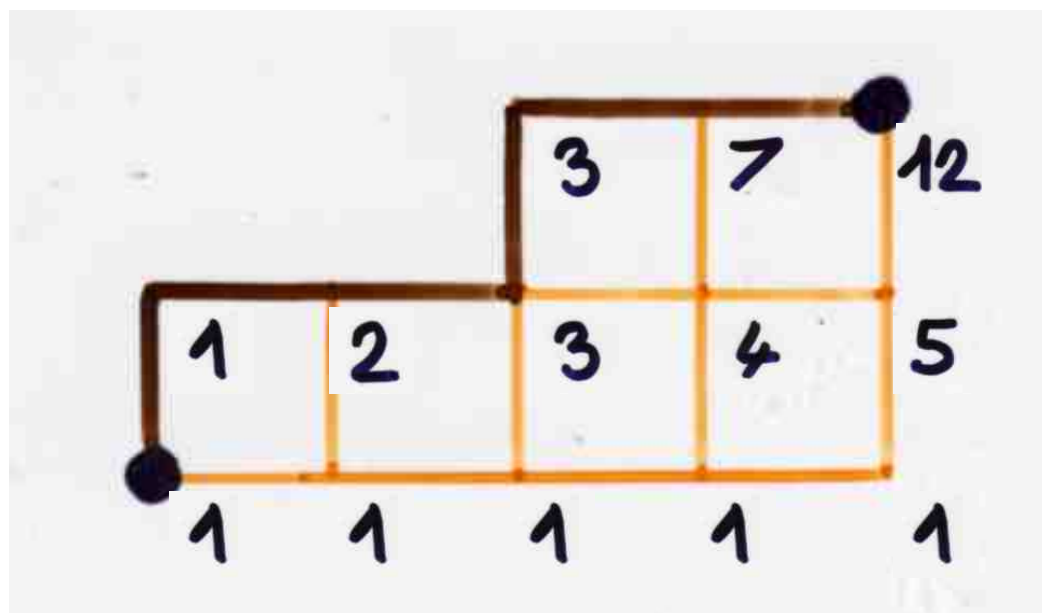
Shapiro, Zeilberger (1982)

state $s = (\tau_1, \dots, \tau_n)$

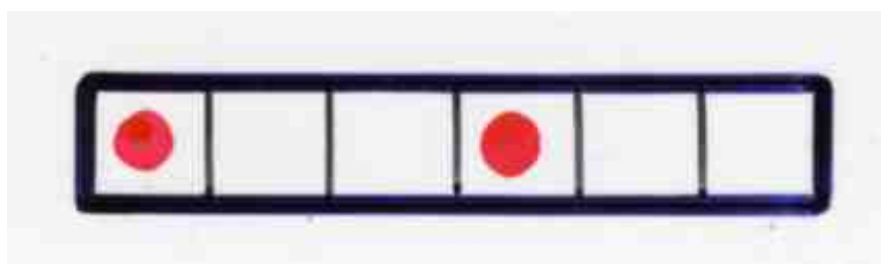


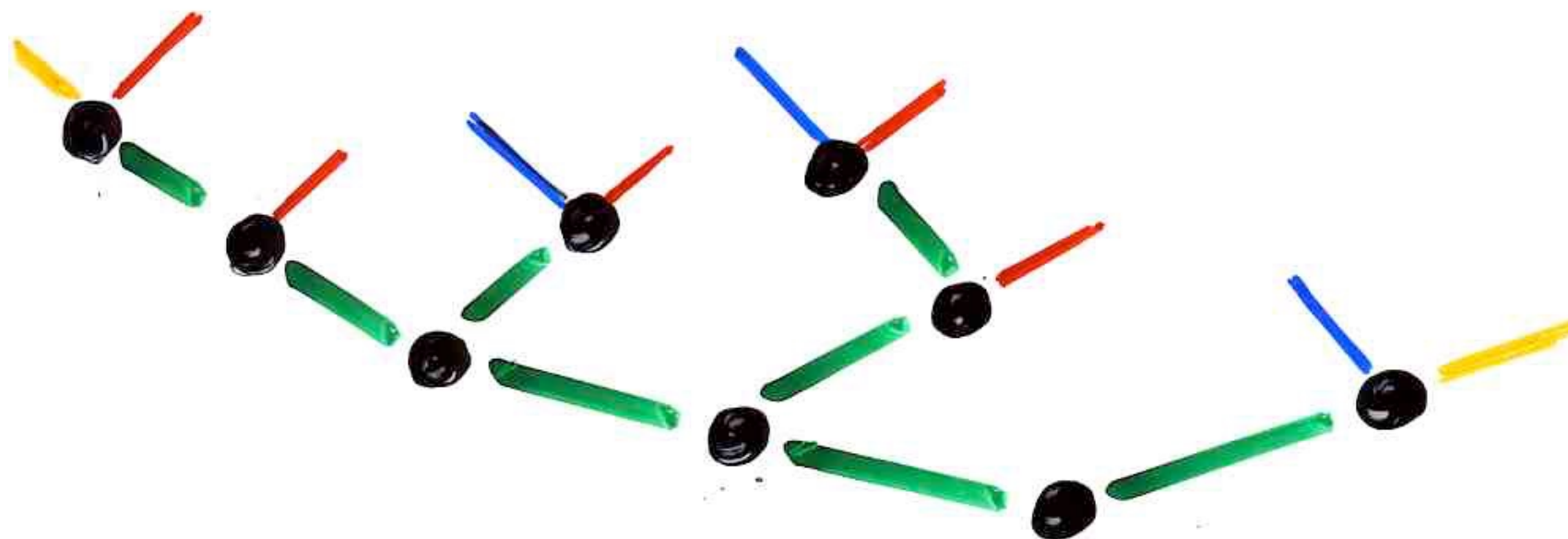
$$P_n(s) = \frac{1}{C_{n+1}} \left(\text{number of paths } \gamma \text{ below the path } w \text{ associated to } s \right)$$

Shapiro, Zeilberger (1982)



$$\begin{array}{r} 12 \\ \hline 429 \end{array}$$

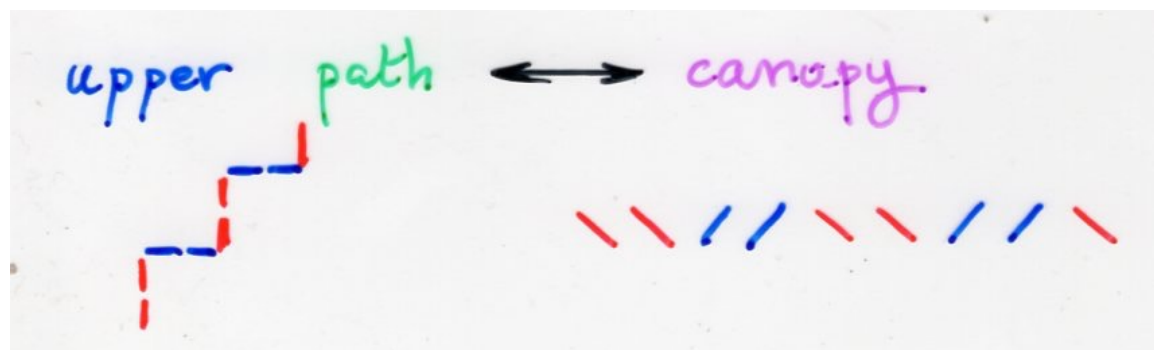
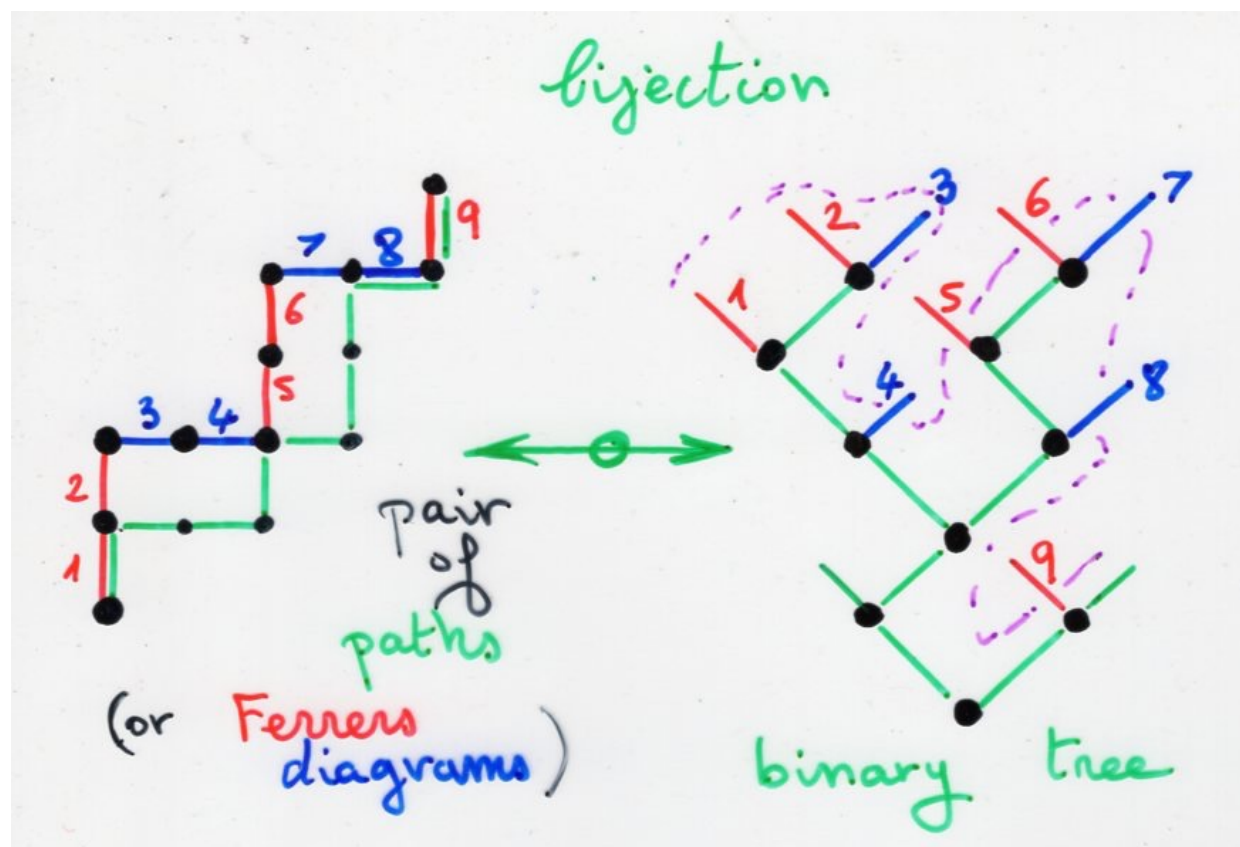
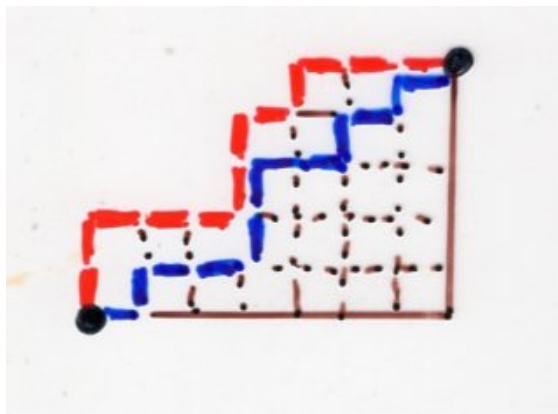




canopy of a binary tree

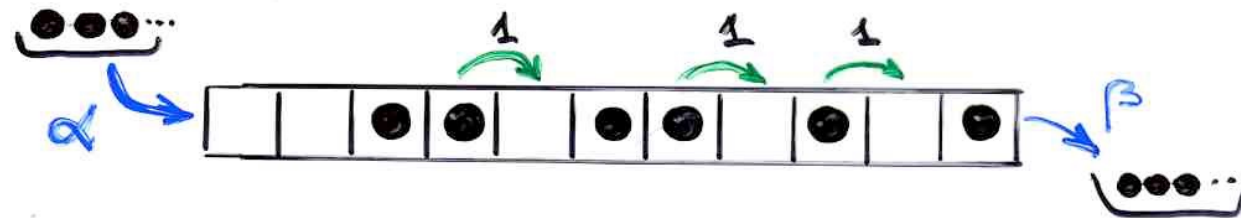
$$c(B) = \text{ / / \ / \ / / \ }$$

Loday, Ronco (1998, 2012)



TASEP

"Totally asymmetric exclusion process"

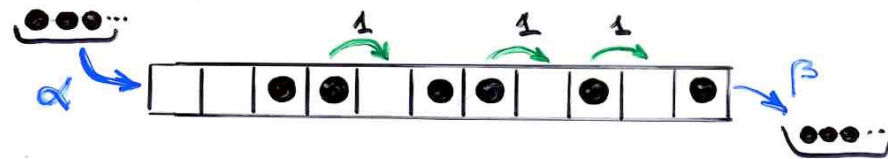


stationary
probabilities

time $\rightarrow \infty$

TASEP

"totally asymmetric exclusion process"



stationary probabilities

$$\frac{1}{Z_n} \sum_{\text{binary trees } T} \bar{\alpha}^{lb(T)} \bar{\beta}^{rb(T)}$$

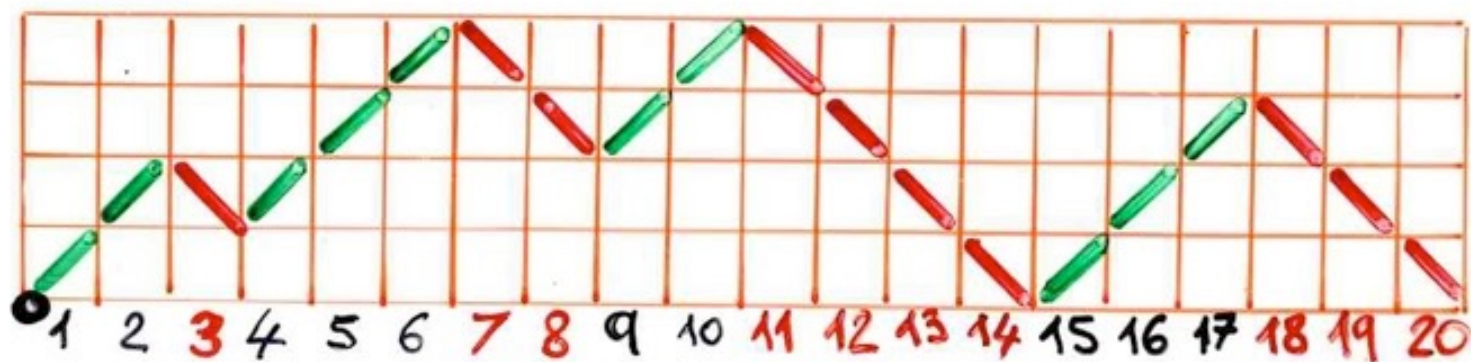
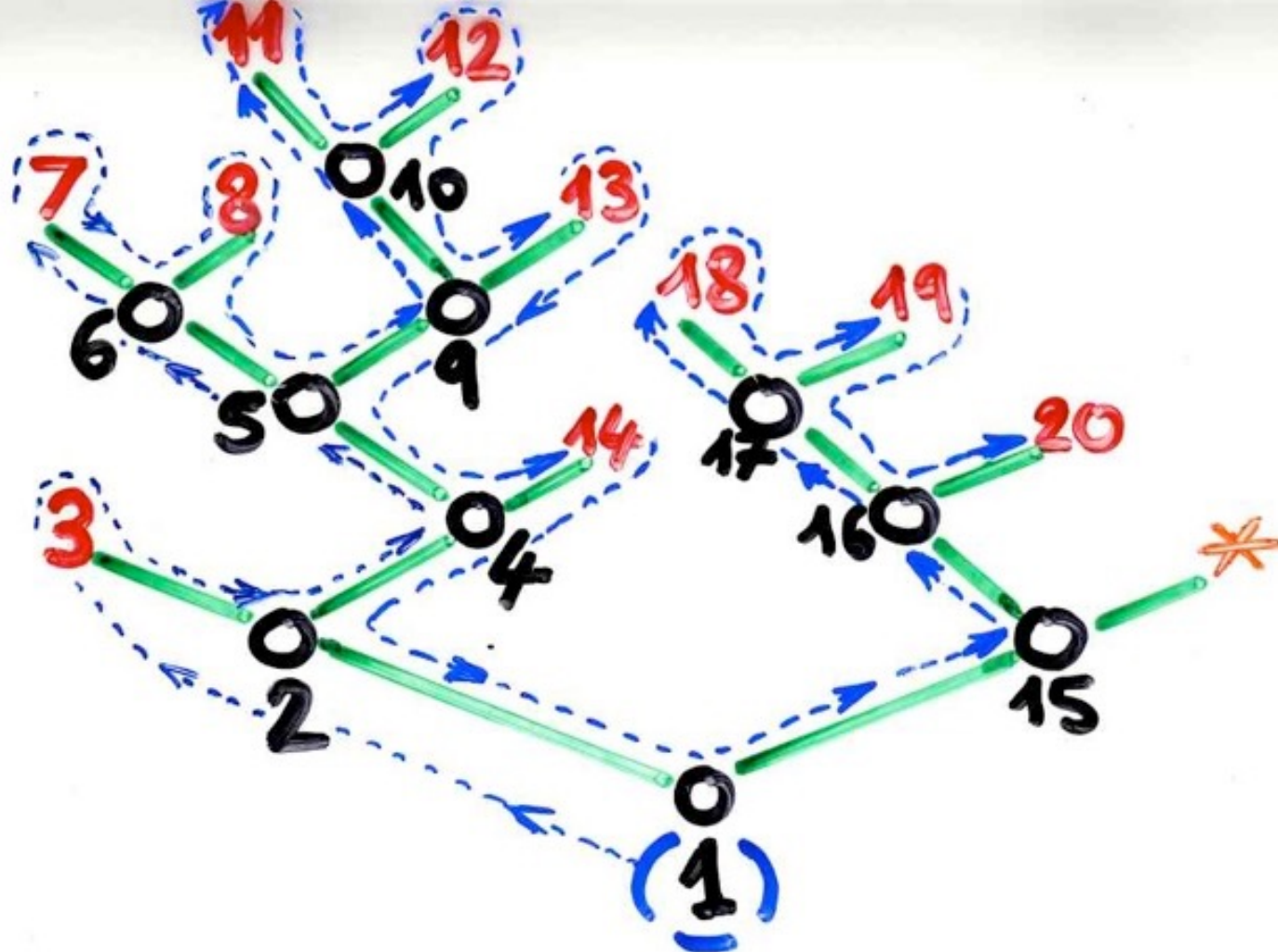
$C(T) = w$
canopy



$$\bar{\alpha} = \alpha^{-1} \quad \bar{\beta} = \beta^{-1}$$

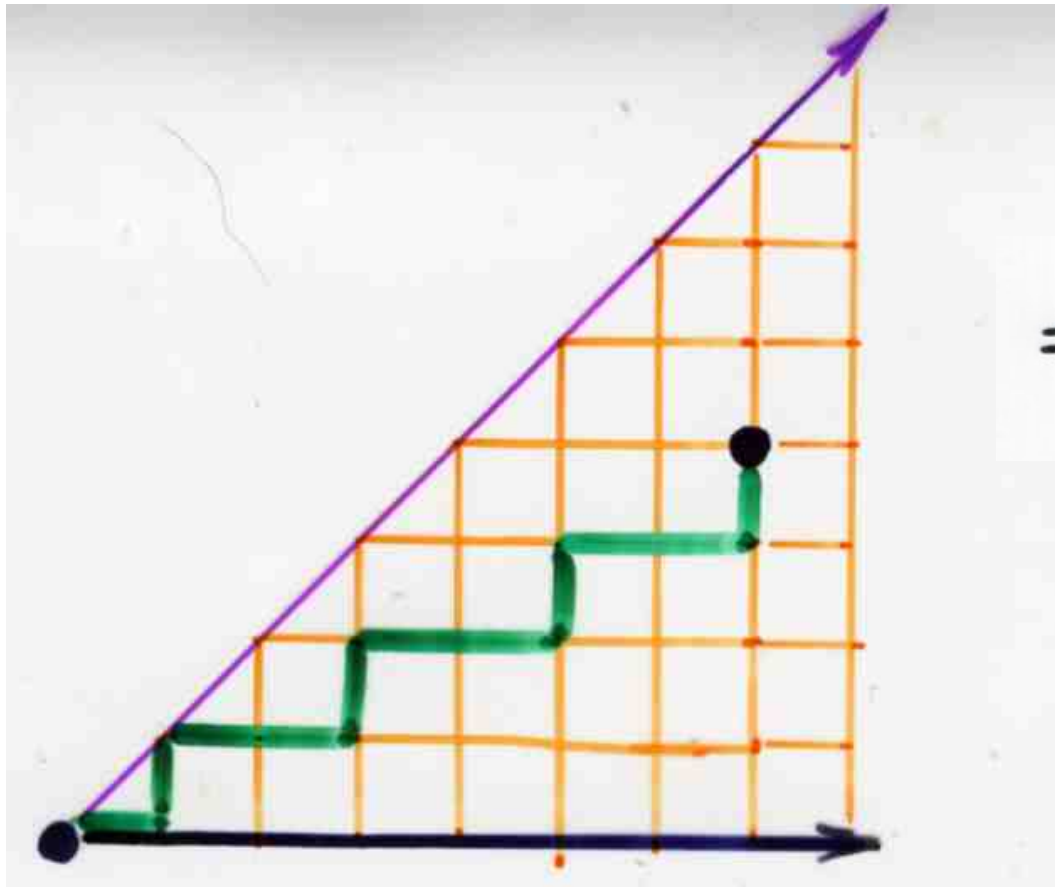
partition function

$$Z_n = \sum_{\substack{T \\ \text{binary trees} \\ n \text{ vertices}}} \bar{\alpha}^{lb(T)} \bar{\beta}^{rb(T)}$$



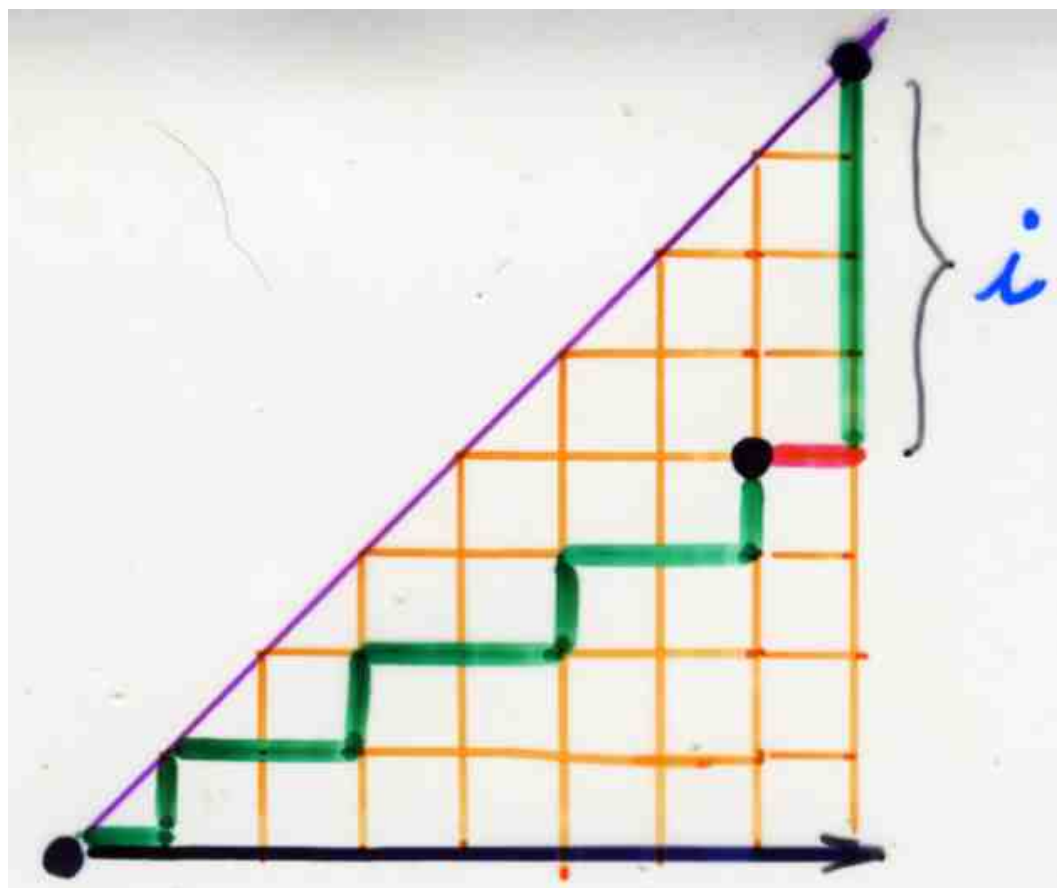
"ballot numbers"

$$\alpha_{n,i} = \binom{2n-i-1}{n-i} - \binom{2n-i-1}{n}$$



$$= \frac{i}{2n-i} \binom{2n-i}{n}$$

"ballot numbers"



$$Z_n = \sum_{\substack{T \\ \text{binary trees} \\ n \text{ vertices}}} \bar{\alpha}^{lb(T)} \bar{\beta}^{rb(T)}$$



$$\bar{\alpha} = \alpha^{-1} \quad \bar{\beta} = \beta^{-1}$$

exercise 12

$$Z_n = \sum \frac{i}{2n-i} \binom{2n-i}{n} \frac{\bar{\alpha}^{(i+1)} \bar{\beta}^{(i+1)}}{\bar{\alpha} - \bar{\beta}}$$

partition
function

$$[\bar{\alpha}^i + \bar{\alpha}^{(i-1)} \bar{\beta} + \dots + \bar{\alpha}^{(i-j)} \bar{\beta}^j + \dots + \bar{\beta}^i]$$

A final surprise ...

molecular biology

computer science

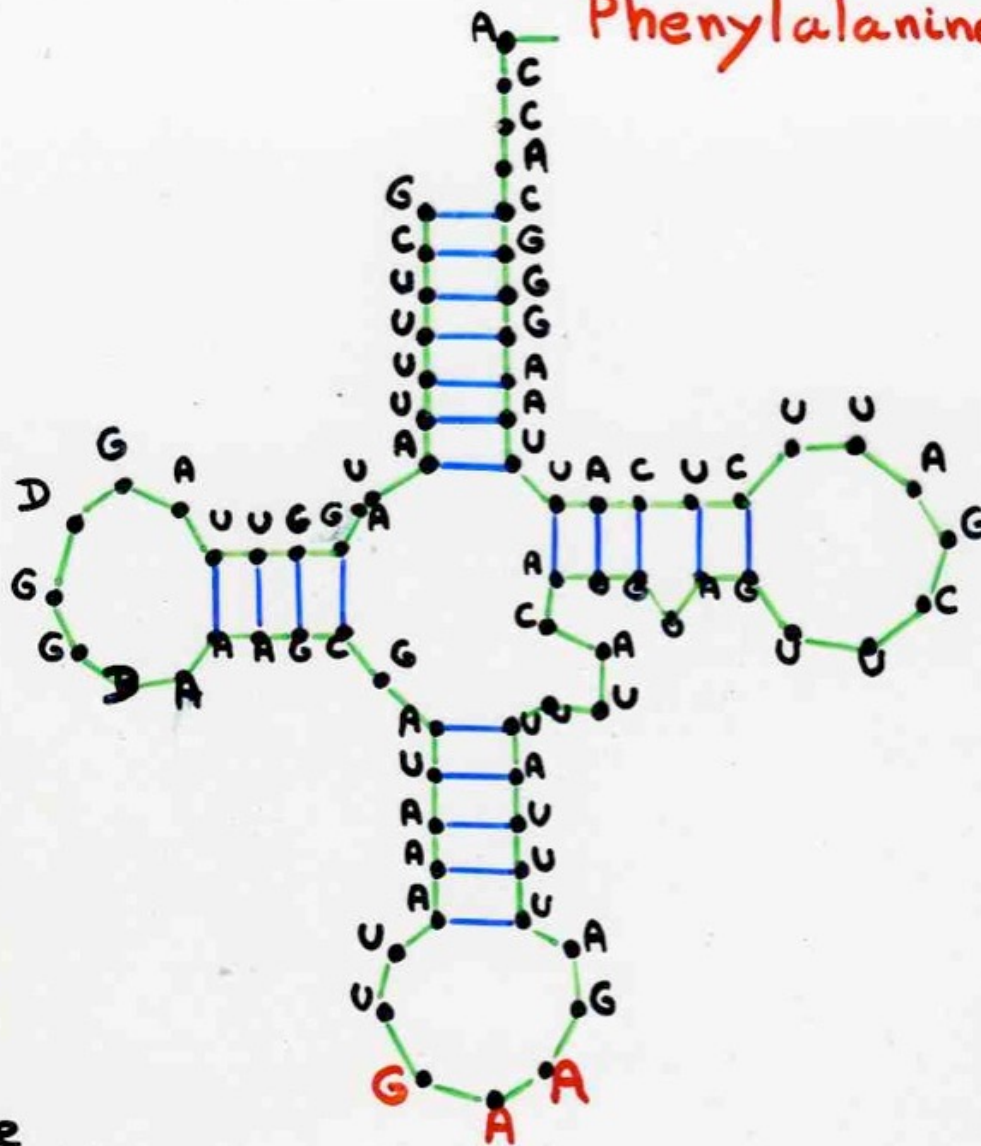
hydrogeology

Trees everywhere. ...

molecular biology

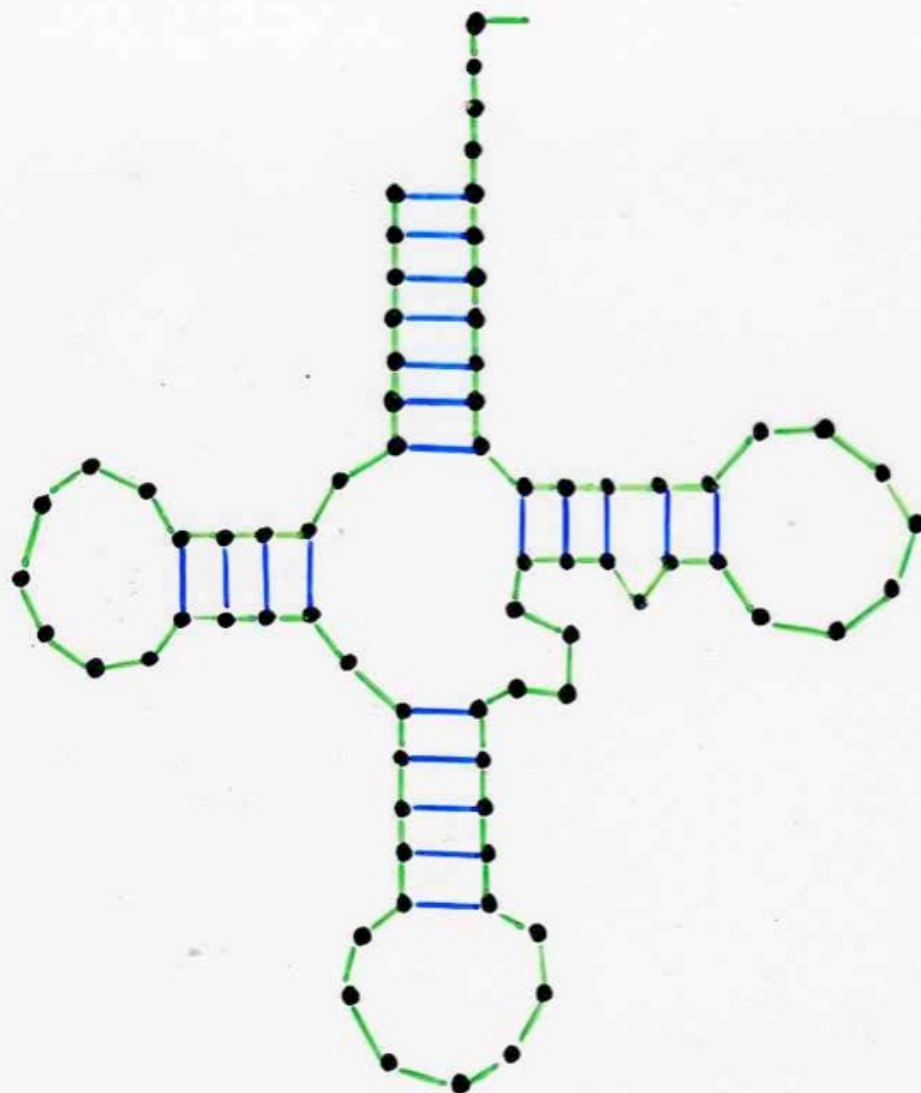
trees
in secondary structures
of RNA

Phenylalanine

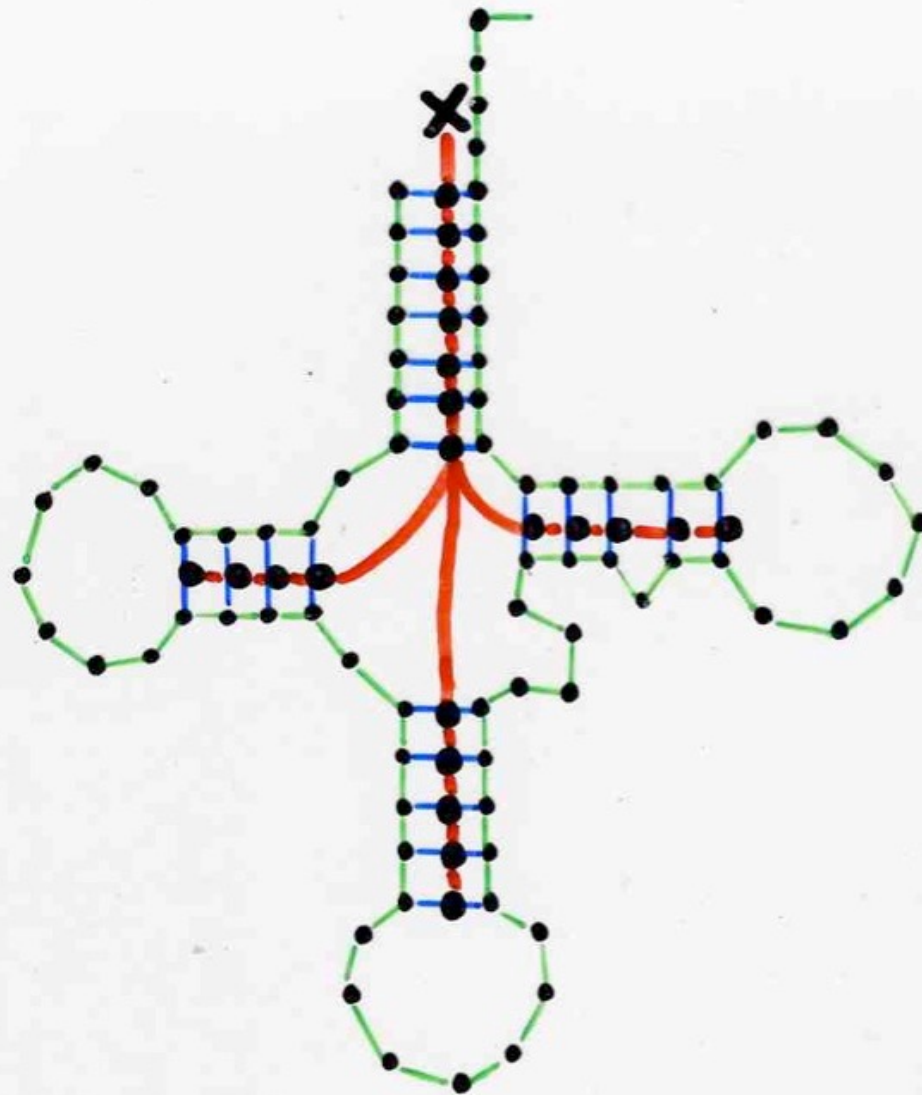


A denine
U racyle
G uanine
C ytosine

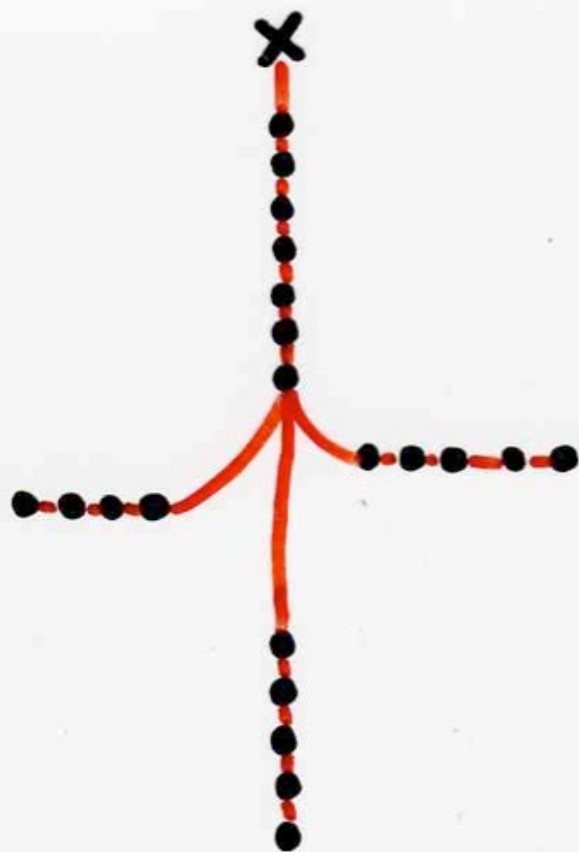
tARN^{Phe}



tARN^{Phe}



tARN^{Phe}



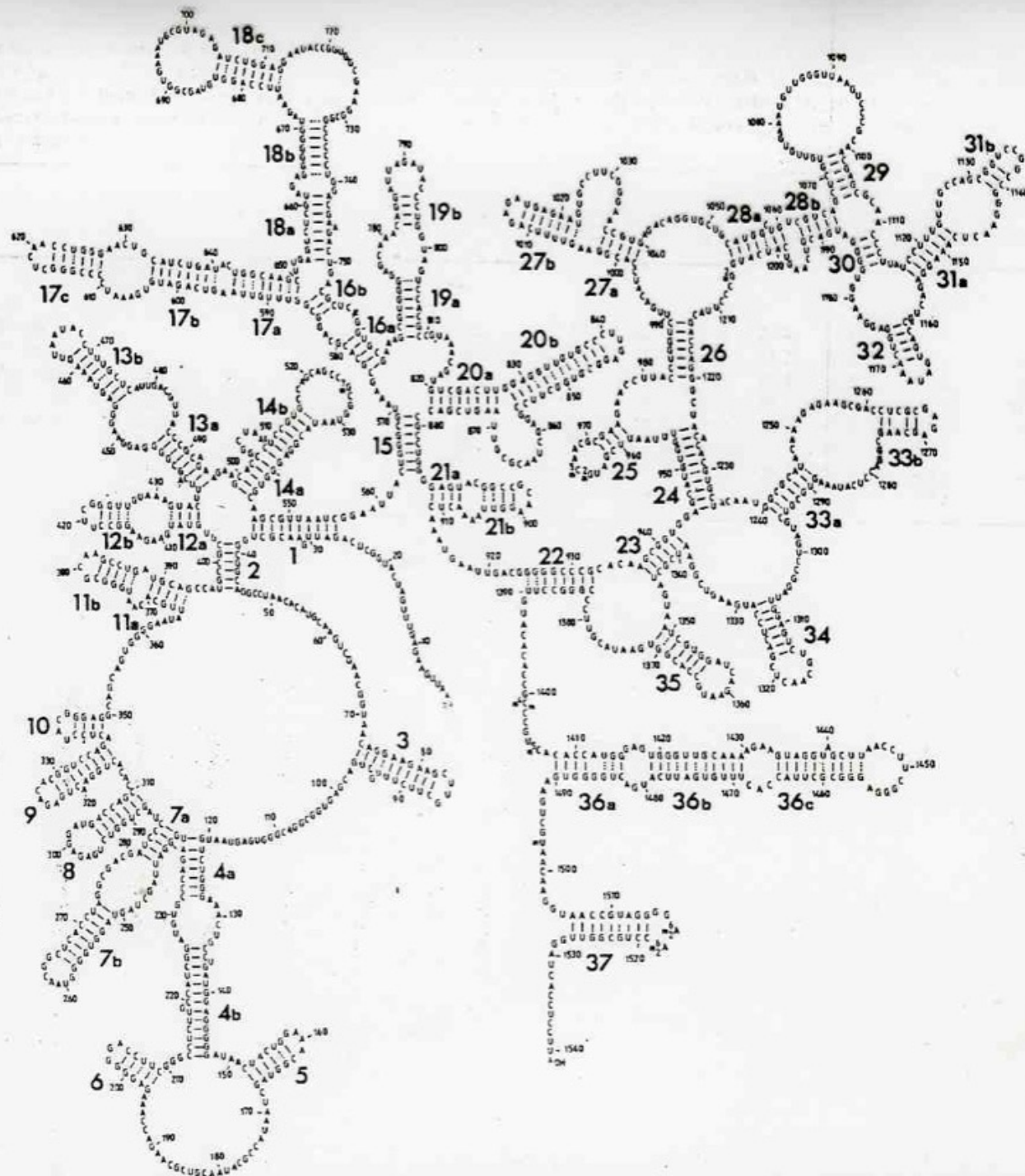


Fig. 1. Secondary structure model of the 16-S RNA from *E. coli*. This model has been fully described elsewhere [18]. The various secondary structure motifs are numbered for reference. Base-pairings 2 and 23 are included in this up-dated scheme and slight modifications have been introduced into helices 18b and 33b

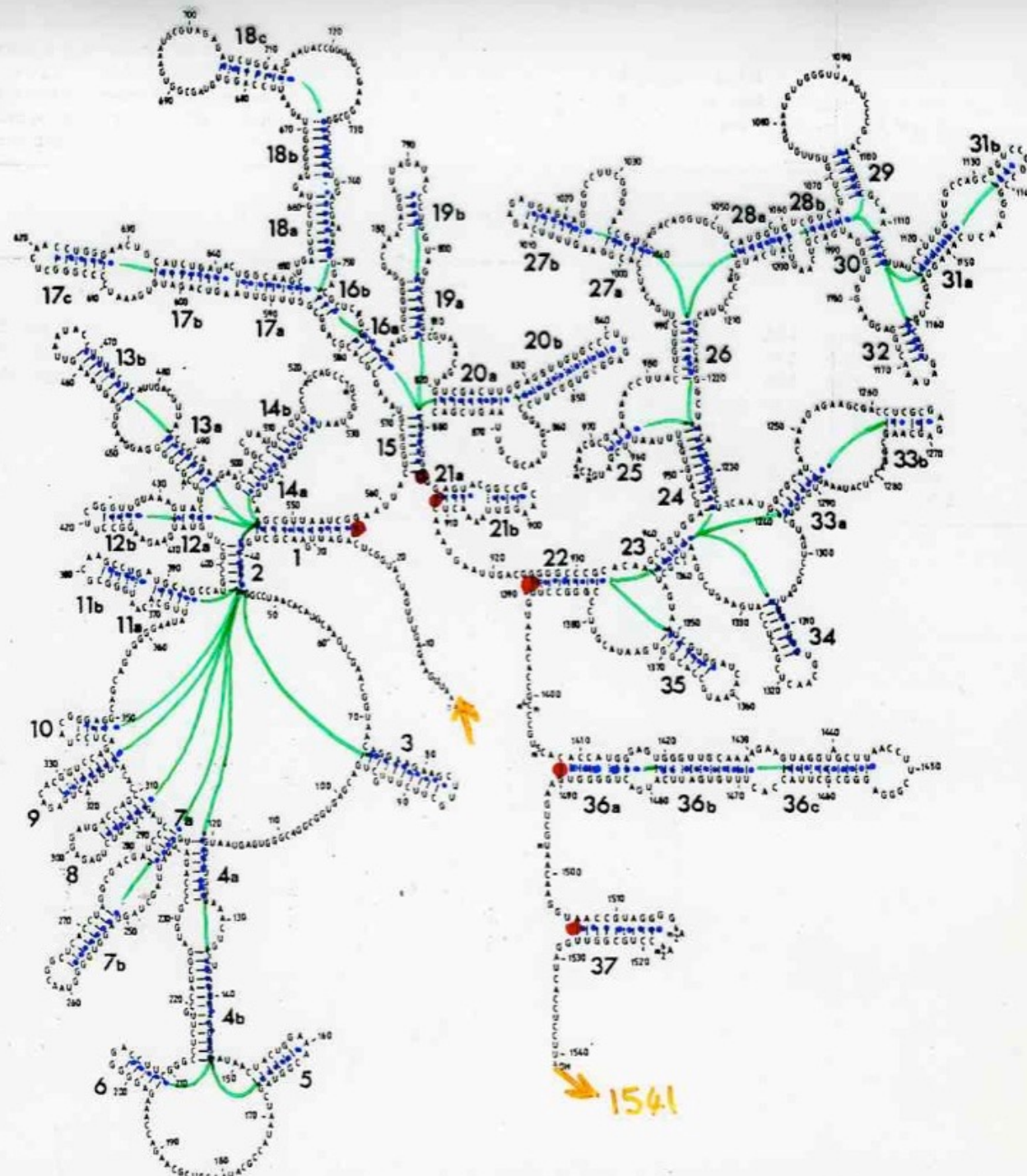


Fig. 1. Secondary structure model of the 16S RNA from *E. coli*. This model has been fully described elsewhere [18]. The various secondary structure motifs are numbered for reference. Base-pairings 2 and 23 are included in this up-dated scheme and slight modifications have been introduced into helices 18b and 33b

forest
of planar trees

= sequence
of planar trees

$$y = \frac{1}{1-z}$$

planar tree = (\bullet , forest
of planar trees)

$$z = ty$$

$$y = \frac{1}{1-ty}$$

$$y - ty^2 = 1$$

$$y = 1 + ty^2$$

Catalan
numbers !

bijection

planar trees

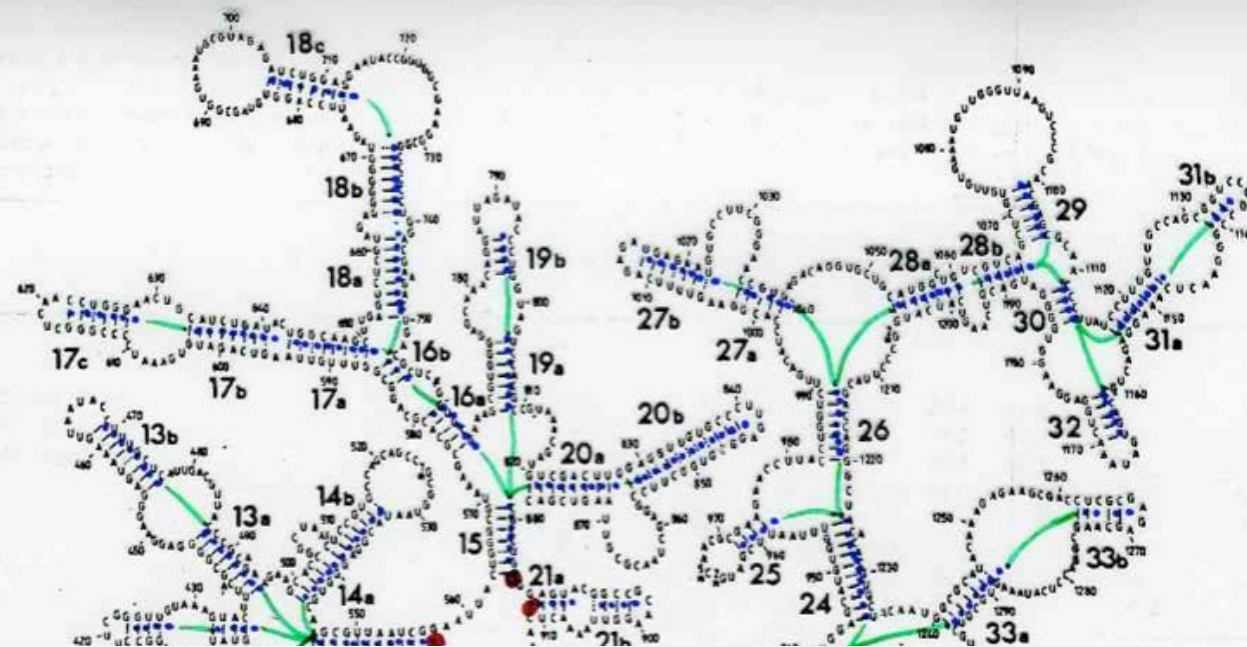
Dyck paths

A final surprise ...

molecular biology

computer science

hydrogeology



● "complexity" of the forest of planar trees underlying the mRNA molecule

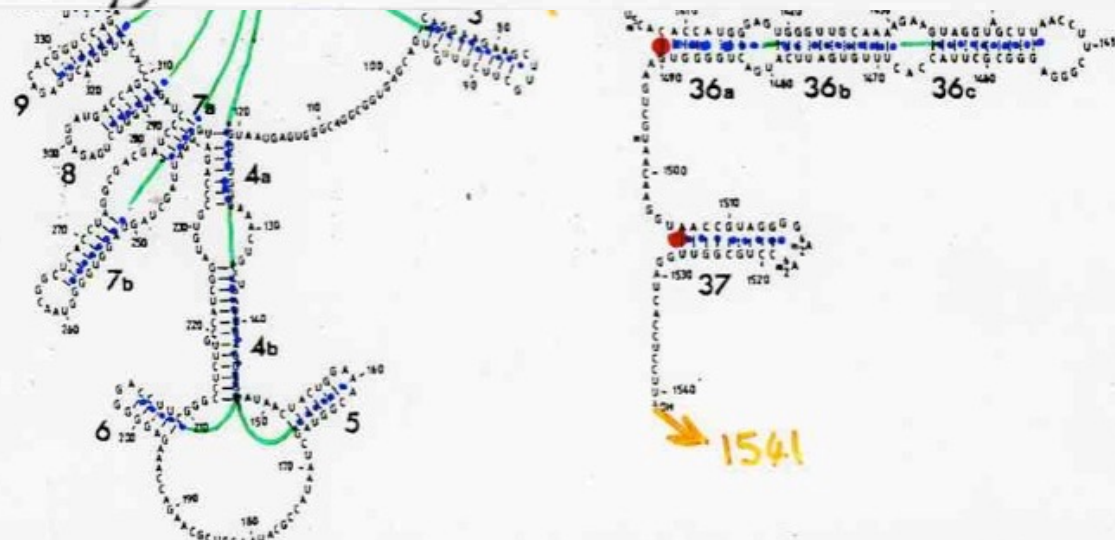
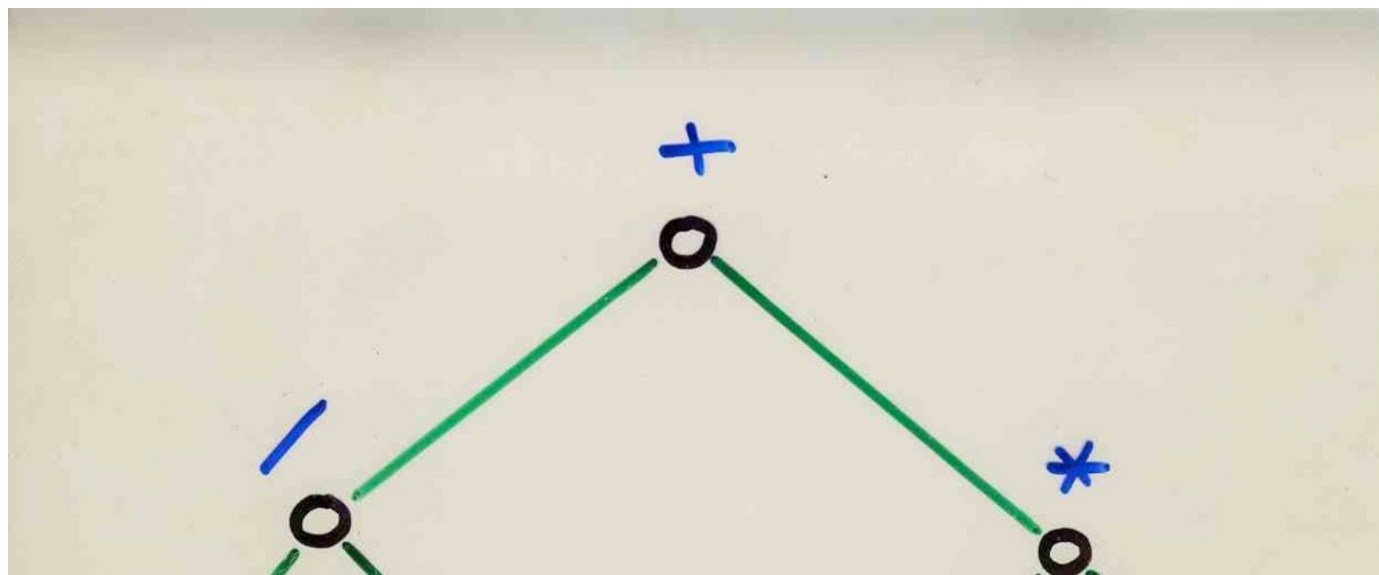
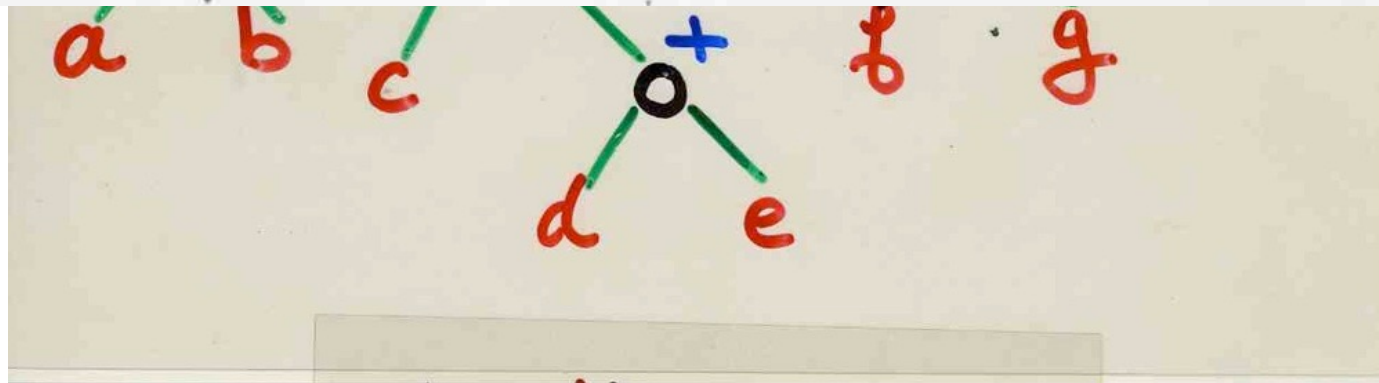



Fig. 1. Secondary structure model of the 16S RNA from *E. coli*. This model has been fully described elsewhere [18]. The various secondary structure motifs are numbered for reference. Base-pairings 2 and 23 are included in this up-dated scheme and slight modifications have been introduced into helices 18b and 33b



- minimum number of **registers** needed to compute an **arithmetical** expression



$$\frac{(a+b)}{c(d+e)} + (f-g)h$$

An aerial photograph of a river network, showing a main river channel with numerous tributaries branching off it. The river channels are light brown/tan, contrasting with the darker, textured landscape. The branching pattern of the river network is used as a visual metaphor for a binary tree structure. A white rectangular box with a black dot is overlaid on the image, containing handwritten text.

● Strahler
number of a binary tree

same distribution

- Strahler number of a binary tree

- minimum number of registers needed to compute an arithmetical expression

- "complexity" of the forest of planar trees underlying the mRNA molecule

same generating function

$$S_{n,k} = \left\{ \begin{array}{l} \text{number of binary trees } \mathcal{B} \\ \text{with } n \text{ internal vertices} \\ \text{and } St(\mathcal{B}) = k \end{array} \right.$$

$$S_k(t) = \sum_{n \geq 0} S_{n,k} t^n$$

Fibonacci numbers

$$S_0 = 1$$

1

F_1

$$S_1 = \frac{t}{1 - 2t}$$

3

F_3

$$S_2 = \frac{t^3}{1 - 6t + 10t^2 - 4t^3}$$

21

F_7

$$S_3 = \frac{t^7}{1 - 14t + 78t^2 - 220t^3 + 330t^4 - 252t^5 + 84t^6 - 8t^7}$$

987

F_{15}

The arithmetical triangle

Fibonacci numbers

1										
1	1									
1	2	1								
1	3	3	1							
1	4	6	4							
1	5	10	10							
1	6	15	20	15	6	1				
1	7	21	35	35	21	7	1			
1	8	28	56	70	56	28	8	1		
1	9	36	84	126	126	84	36	9		
1	10	45	120	210	252	210	120	45	10	
1	11	55	165	330	462	462	330	165	55	
1	12	66	220	495	792	924	792	495	220	
1	13	78	286	715	1287	1716	1716	1287	715	
1	14	91	364	1001	2002	3003	3432	3003	2002	
1	15	105	455	1365	3003	5005	6435	6435	5005	

$$F_{(2^k - 1)}$$

Thank you !



www.viennot.org/abjc-stems21

Video-book « The Art of bijective combinatorics



ॐ सरस्वत्यै नमः।